

بِسْمِ اللّٰهِ الرَّحْمٰنِ الرَّحِيْمِ



دانشکده : فیزیک

گروه : ذرات بنیادی

## در نظر گرفتن تأثیرات غیرنسبیتی بر تابش کوارک چرخان با استفاده از تناظر AdS/CFT

دانشجو : میترا فرهبدنیا

استاد راهنما :

دکتر کاظم بی تقسیر فدافن

استاد مشاور :

دکتر محمد علی اکبری

پایان نامه ارشد جهت اخذ درجه کارشناسی ارشد

ماه و سال انتشار : بهمن ماه ۹۳

دانشگاه شاهرود

## دانشکده : فیزیک

## گروه : ذرات بنیادی

پایان نامه کارشناسی ارشد آقای / خانم میترا فرهبدنیا

تحت عنوان: در نظر گرفتن تأثیرات غیرنسبیتی بر تابش کوارک چرخان با استفاده از تناظر  $AdS/CFT$

در تاریخ ..... توسط کمیته تخصصی زیر جهت اخذ مدرک کارشناسی ارشد مورد ارزیابی و با درجه ..... موردن پذیرش قرار گرفت.

امضاء	اساتید مشاور	امضاء	اساتید راهنما
	نام و نام خانوادگی : دکتر محمد علی اکبری		نام و نام خانوادگی : دکتر کاظم بی‌قصیر فدافن
	نام و نام خانوادگی :		نام و نام خانوادگی :

امضاء	نماینده تحصیلات تکمیلی	امضاء	اساتید داور
	نام و نام خانوادگی :		نام و نام خانوادگی : دکتر مصطفی عناستانی
			نام و نام خانوادگی : دکتر داود الله بخشی
			نام و نام خانوادگی : نام و نام خانوادگی :

برای بهترین مامان و بابای دنیا...

## پاسکنزاری ...

از استاد شایسته جناب آقای دکتر کاظمی تصریف افون بسیار پاسکنزارم چرا که نه تنها این کسب شده در این راه را مر هون  
زحمات ایشان میدانم بلکه انگلیزه و شوق آموختن را از ایشان و امداد مرم.

همچنین از استاد مشاور کرامی ام جناب آقای دکتر محمد علی اکبری و از استاد داور محترم جناب آقای دکتر مصطفی  
عابستانی و جناب آقای دکتر داود الله نجفی که زحمت داوری این جانب را به عمدہ کرفته اند بسیار پاسکنزارم.

از جناب آقای دکتر مهدی آتشی به دلیل یاری ها و راهنمایی هایی بی چشمداشت ایشان که بسیاری از سختی ها را برایم  
آسان تر نمودند، کمال مشکر را دارم. باشد که پاداش راهنمایی هایی بی دینه ایشان پریاری بیشتر دخت اندیشه ایشان گردد.

قدرتانی می کنم از مادر مهریان و پدر بزرگوارم، آن دو فرشتہ ای که از خواسته هایشان گذشتند، سختی ها را به جان خریدند تا من به  
جا گیاهی که اکنون در آن ایستاده ام برسم. مشکرم از خواهانم که وجودشان شادی، نخش و مایه‌ی آرامش من است.

همچنین از خانم ها: فاطمه سعیدی، مریم کربیی و آقای محمد مهدی شریینی که مریاری نموده اند بسیار پاسکنزارم.

## تعهد نامه

اینجانب میترا فرهبدنیا دانشجوی دوره کارشناسی ارشد رشته فیزیک ذرات بنیادی دانشکده فیزیک دانشگاه شاهروド نویسنده پایان نامه: در نظر گرفتن تأثیرات غیرنسبیتی بر تابش کوارک چرخان با استفاده از تناظر  $AdS/CFT$  تحت راهنمائی دکتر کاظم بی تقصیر فداون متعدد می شوم:

- تحقیقات در این پایان نامه توسط اینجانب انجام شده است و از صحت و اصالت برخوردار است.
- در استفاده از نتایج پژوهش‌های محققان دیگر به مرجع مورد استفاده استناد شده است.
- مطالب مندرج در پایان نامه تاکنون توسط خود یا فرد دیگری برای دریافت هیچ نوع مدرک یا امتیازی در هیچ جا ارائه نشده است.
- کلیه حقوق معنوی این اثر متعلق به دانشگاه شاهروド می باشد و مقالات مستخرج با نام « دانشگاه شاهروド » و یا « University of Shahrood » به چاپ خواهد رسید.
- حقوق معنوی تمام افرادی که در به دست آمدن نتایج اصلی پایان نامه تأثیرگذار بوده اند در مقالات مستخرج از پایان نامه رعایت می گردد.
- در کلیه مراحل انجام این پایان نامه ، در مواردی که از موجود زنده ( یا بافتهای آنها ) استفاده شده است ضوابط و اصول اخلاقی رعایت شده است.
- در کلیه مراحل انجام این پایان نامه، در مواردی که به حوزه اطلاعات شخصی افراد دسترسی یافته یا استفاده شده است اصل رازداری ، ضوابط و اصول اخلاق انسانی رعایت شده است.

### تاریخ امضای دانشجو

#### مالکیت نتایج و حق نشر

- کلیه حقوق معنوی این اثر و محصولات آن (مقالات مستخرج، کتاب، برنامه های رایانه ای، نرم افزار ها و تجهیزات ساخته شده است ) متعلق به دانشگاه شاهروド می باشد. این مطلب باید به نحو مقتضی در تولیدات علمی مربوطه ذکر شود.
- استفاده از اطلاعات و نتایج موجود در پایان نامه بدون ذکر مرجع مجاز نمی باشد.

## چکیده:

در این پایان‌نامه با استفاده از تناظر AdS/CFT مسئله‌ی کوارک چرخان را در محیط پلاسمای جفت شده‌ی قوی و خلاء مورد بررسی قرار می‌دهیم. در این مورد کوارک با سرعت ثابت بر روی دایره‌ای به شعاع  $\ell$  دوران می‌کند. مطابق دوگانگی AdS/CFT دوگان گرانش این مسئله ریسمان چرخانی است که در فضای حجم دوران می‌کند. در ابتدا با مطالعه‌ی منابع مورد نظر مروری بر مسئله حرکت کوارک چرخان داریم. سپس با به دست آوردن معادلات حرکت و حل این معادلات، بر روی انرژی اتلافی بحث می‌کنیم.

نتایج نشان می‌دهد برای کوارک چرخان در پلاسمای جفت شده قوی دو شیوه برای اتلاف انرژی وجود دارد که شامل تابش و نیروی مقاوم می‌باشد. همچنین می‌توان گفت در پلاسمای نسبیتی برای  $w$ های کوچک، بخش غالب انرژی اتلافی، ناشی از نیروی مقاوم است و در  $w$ های بزرگ اتلاف انرژی ناشی از تابش می‌باشد. در حالی که در خلاء نسبیتی اتلاف انرژی تنها ناشی از تابش خواهد بود. سپس به عنوان مسئله جدید تأثیرات فضا زمان غیرنسبیتی بر اتلاف انرژی بررسی می‌شود. نتایج در این فضا زمان به این شکل است که بر خلاف خلاء نسبیتی در خلاء غیرنسبیتی دو ساختار در انرژی از دست رفته‌ی کوارک چرخان نقش دارند که شامل نیروی مقاوم و تابش می‌باشد. در پلاسمای غیرنسبیتی، برای  $w$ های بزرگ، انرژی از دست رفته ناشی از تابش است. با روشن شدن پارامتر غیرنسبیتی و بررسی مسئله‌ی اتلاف انرژی مشخص می‌شود با افزایش شعاع دوران کوارک چرخان سهم غالب اتلاف انرژی مربوط به حضور نیروی مقاوم می‌باشد؛ به طوری که می‌توان رفتار کوارک چرخان در مرز را با رفتار کوارکی که در مسیر مستقیم در حال حرکت است تقریب زد.

## لیست مقالات مستخرج از پایان نامه

- ۱- کاظم بی تقسیر فدافن ، میترا فرهبندیا، "مطالعه‌ی اتلاف انرژی غیرنسبیتی کوارک چرخان با استفاده از تناظر  $AdS/CFT$ " پنجمین کنفرانس فیزیک ذرات بنیادی، بهمن ماه ۱۳۹۳.

## فهرست مطالب

### فصل اول: مروری بر مفاهیم

۱- نگاهی به موضوع تحقیق.....	۲
۲- تناظر AdS/CFT.....	۴
۳- مطالعه‌ی اتلاف انرژی با استفاده از AdS/CFT.....	۸
۴- فضا زمان غیرنسبیتی.....	۱۴
۵- مروری کوتاه بر کارهای انجام شده .....	۱۵

### فصل دوم: بررسی اتلاف انرژی کوارک چرخان در فضا زمان نسبیتی

۱-۲ - مقدمه.....	۲۰
۲- ریسمان چرخان در زمینه‌ی کلی.....	۲۰
۳- ریسمان چرخان در زمینه‌ی AdS.....	۲۵
۴- ریسمان چرخان در خلاء نسبیتی.....	۳۵
۵- اتلاف انرژی کوارک چرخان.....	۳۷
۶- انرژی از دست رفته در دو حد متفاوت.....	۳۹

### فصل سوم: بررسی اتلاف انرژی کوارک چرخان در فضا زمان غیرنسبیتی

۱-۳ - مقدمه.....	۴۴
۲- بررسی رفتار ریسمان چرخان در خلاء غیرنسبیتی.....	۴۵
۳- انرژی از دست رفته در خلاء غیرنسبیتی.....	۵۲
۴- انرژی اتلافی در پلاسمای غیرنسبیتی.....	۵۷

## فصل چهارم: نتیجه گیری

۶۶.....نتیجه گیری

۶۸.....مراجع

### فهرست اشکال

شکل ۱-۱- نمایی از ریسمان‌های باز بر روی یک شامه ..... ۶

شکل ۱-۲- تصویری از برهمنش قوی بین شامه‌ها و ایجاد فضای پاد دوسیته ..... ۶

شکل ۱-۳- فرایند خاموشی جت ..... ۹

شکل ۱-۴- مراحل تشکیل پلاسما ..... ۹

شکل ۱-۵- چگونگی اثر نیروی مقاوم بر ریسمان ..... ۱۰

شکل ۲-۱- نمایی از ریسمان متصل به کوارک چرخان ..... ۲۱

شکل ۲-۲- مختصات به کار رفته در فضای AdS/CFT ..... ۲۲

شکل ۲-۳- نمودار بخش بالایی نقطه‌ی  $U_c$  معادله دیفرانسیل (۳۳-۲) به ازای  $\Pi = 10, \omega = 5$  ..... ۳۲

شکل ۲-۴- نمودار بخش پایینی نقطه‌ی  $U_c$  معادله دیفرانسیل (۳۳-۲) به ازای  $\Pi = 10, \omega = 5$  ..... ۳۲

شکل ۲-۵- نمودار بخش بالایی نقطه‌ی  $U_c$  معادله دیفرانسیل (۳۳-۲) به ازای  $\Pi = 20, \omega = 0.05$  ..... ۳۳

شکل ۲-۶- نمودار بخش پایینی نقطه‌ی  $U_c$  معادله دیفرانسیل (۳۳-۲) به ازای  $\Pi = 20, \omega = 0.05$  ..... ۳۳

شکل ۲-۷- نمودار تغییرات ( $\rho(u)$ ) نسبت به  $u$  برای  $\omega$  و  $\Pi$  های مختلف ..... ۳۳

شکل ۲-۸- تغییرات ( $\rho(u)$ ) نسبت به  $u$  برای  $\omega = 0.5$  و  $\Pi = 0.1$  ..... ۳۷

شکل ۲-۹- انرژی از دست رفته‌ی حالت کل و نیروی مقاوم برای  $\omega$  های متفاوت ..... ۴۱

شکل ۲-۱۰- انرژی از دست رفته‌ی  $dE/dt$  برای  $\omega$  های متفاوت ..... ۴۲

۴۹..... شکل ۳-۱- نمودار  $\rho(r)$  بر حسب  $r$  برای  $\Pi=1, \omega=1, z=1, \theta=0$

۵۰..... شکل ۳-۲- نمودار  $\rho(r)$  بر حسب  $r$  برای  $\Pi=1, \omega=1, \theta=0, \frac{d}{2}, \frac{3d}{4}$  و  $z=2$

۵۱..... شکل ۳-۳- نمودار  $\rho(r)$  بر حسب  $r$  برای  $\Pi=1, \omega=1, \theta=0, \frac{d}{2}, \frac{3d}{4}$  و  $z=2, \theta=0, z=1$  با  $\omega=0.05$

۵۲..... شکل ۳-۴- نمودار اتلاف انرژی برای  $z=2$  و  $\theta=0$  بر حسب  $l$  برای  $\omega=0.05$

۵۳..... شکل ۳-۵- انرژی از دست رفته در حالت نسبیتی و غیر نسبیتی

۵۴..... شکل ۳-۶- نمودار  $\frac{l_2}{l_1}$  بر حسب  $\Pi\omega$

۵۵..... شکل ۳-۷- نسبت  $\Pi\omega / (\Pi\omega)_{linear-drag}$  بر حسب  $l$

۵۶..... شکل ۳-۸- نسبت  $\Pi\omega / (\Pi\omega)_{linear-drag}$  بر حسب  $l$  برای  $\theta$  های متفاوت

۵۷..... شکل ۳-۹- نسبت  $\theta=0, \frac{d}{2}, \frac{3d}{4}$  بر حسب  $l$  برای  $\Pi\omega / linear-drag$

۵۸..... شکل ۳-۱۰- نمودار انرژی اتلافی کل بر حسب  $l$

۵۹..... شکل ۳-۱۱- نمودار  $\rho(r)$  بر حسب  $r$  برای  $\Pi=10$

۶۰..... شکل ۳-۱۲- نمودار  $\rho(r)$  بر حسب  $r$

۶۱..... شکل ۳-۱۳- نمودار انرژی اتلافی در فضای غیر نسبیتی بر حسب  $l$  برای  $\Pi$  و  $\omega$  های مختلف



# فصل اول

## مروری بر مفاهیم

نگاهی به موضوع تحقیق 

$AdS / CFT$  تناظر 

$AdS / CFT$  محاسبه‌ی اتلاف انرژی با استفاده از 

فضا زمان غیرنسبیتی 

مروری کوتاه بر کارهای انجام شده 

## ۱- نگاهی به موضوع تحقیق:

مسئله‌ی اتلاف انرژی پارتون‌ها<sup>۱</sup> در پلاسمای کوارک گلوئون<sup>۲</sup> در سال‌های اخیر به طور جدی مورد بحث قرار گرفته است. این پدیده از طریق بررسی جت‌های باقی مانده خروجی از پلاسما، با احتساب جت‌های خاموش شده در این محیط، در دو برخورد دهنده‌ی یون‌های سنگین نسبیتی *RHIC* و *LHC* اندازه‌گیری شده است. از آنجا که در نظر گرفتن کوارک متحرک در محیط پلاسما اطلاعات مفیدی درباره‌ی رابطه‌ی انرژی از دست رفته با محیط به ما می‌دهد؛ این مسئله برای ما اهمیت بیشتری پیدا می‌کند[۱].

در حد پرتابه‌های انرژی بالا، انرژی از دست رفته‌ی یک پارتون نسبیتی توسط تابش گلوئون‌ها بیان می‌شود و محاسبات بر پایه‌ی روش‌های اختلالی در *QCD* بررسی می‌شود. در حد پرتابه‌های انرژی پایین رویدادهای دیگری ممکن است در نرخ اتلاف انرژی سهیم باشند.

از آنجا که سیستم مورد مطالعه همبسته قوی می‌باشد و ثابت جفت‌شدن<sup>۳</sup>  $\alpha$  در آن به گونه‌ای است که نمی‌توان از روش‌های اختلالی برای آن استفاده کرد. از نقطه نظر دیگر می‌توان گفت در  $\lambda$ ‌های بزرگ، برهم‌کنش بین ذرات در نظریه‌ی ابرتقارنی یانگ میلز<sup>۴</sup> قوی می‌شود و همچنین تعداد رنگ‌ها به سمت بینهایت میل می‌کند که باعث سخت شدن محاسبات می‌شود. در نتیجه در این سیستم‌ها استفاده از روش اختلال برای محاسبات توصیه نخواهد شد. برای حل این مشکل از نظریه‌های تقارنی‌ای مانند *AdS/CFT* بهره می‌بریم که روش‌های مفیدی را برای انجام محاسبات در محیط جفت شده‌ی قوی فراهم می‌کند که شرح آن در بخش بعد آمده است.

---

<sup>1</sup> parton

<sup>2</sup> Quark-gluon plasma(QGP)

<sup>3</sup> Supersymmetric Yang-Mills(SYM) theory

این نظریه دو رهیافت متفاوت را دنبال می‌کند. در یک رهیافت ویژگی‌های غیر اختلالی محیط جفت شده‌ی قوی را به طور معادل در محاسبات اتلاف انرژی اختلالی  $QCD$  حلقه‌های ویلسون قرار می‌دهند که گستره‌ی اعتبار این محاسبات مربوط به پرتابه‌های انرژی بالا می‌باشد.

در رهیافت دیگر فرض می‌شود که تولید ابتدایی پارتون‌های سخت اختلالی است، اما رفتار پارتون‌هایی که انرژی از دست داده‌اند به گونه‌ای است که برهم‌کنش‌ها در تمام مقیاس‌ها غیر اختلالی است. به همین دلیل فرمول‌های مربوط به محاسبات انرژی اتلافی، در دوگان گرانشی نظریه‌ی پیمانه‌ای ابرتقارنی قرار می‌گیرد. این دوگانی در حد پرتابه‌های انرژی پایین معتبر است [1].

در این پایان نامه می‌خواهیم با حل معادلات حرکت کوارک چرخان، انرژی از دست رفته‌ی آن را در دو محیط پلاسمای کوارک گلوئون و خلاء و در فضا زمان‌های نسبیتی و غیرنسبیتی با استفاده از تناظر  $AdS/CFT$  بدست آورده، با هم مقایسه کنیم. بدین منظور یک کوارک آزمون سنگین را در نظر می‌گیریم که در دایره‌ای به شعاع  $\ell$  با سرعت زاویه‌ای  $\omega$  در حال حرکت است. در مراجع ذکر شده کوارک چرخان الگویی است برای بیان قدرت نسبی دو شیوه‌ی مختلف اتلاف انرژی؛ که شامل انرژی از دست رفته به واسطه‌ی نیروی مقاوم و انرژی از دست رفته به سبب تابش می‌باشد. از طرفی انرژی از دست رفته تابع حرکت کوارک می‌باشد و به نوعی آن را به سرعت حرکت کوارک نیز مربوط می‌کند. به این معنی که یکنواخت یا غیریکنواخت بودن سرعت، و همچنین حرکت در سرعت‌های بالا یا پایین می‌تواند به توصیف‌های متفاوتی از انرژی اتلافی منجر شود.

در این فصل به تعریف مفاهیم مهم و کاربردی در این پایان نامه می‌پردازیم. این مفاهیم شامل بیان تناظر  $AdS/CFT$ ، محاسبه‌ی اتلاف انرژی با استفاده از این دوگانی و فضا زمان غیرنسبیتی می‌باشد. پس از بیان مفاهیم لازم، در فصل‌های بعدی به طور خاص مسئله‌ی کوارک چرخان را بررسی می‌کنیم.

## ۲-۱- تناظر $AdS / CFT$

تناظر  $AdS / CFT$  که گاهی با نام‌های "پیشنهاد مالدسنا" و یا "دوگانگی پیمانه/گرانش" شناخته می‌شود، از هم ارزی حدس زده بین یک نظریه گرانش و یک نظریه میدان‌های کوانتومی بدون گرانش در مرز همدیس<sup>۴</sup> آن، با ابعاد حداقل یک واحد کمتر تعریف می‌شود[2].

این حدس که توسط مالدسنا<sup>۵</sup> در سال ۱۹۹۷ بر اساس مطالعه‌ی گرانش از دید نظریه‌ی ریسمان انجام گرفت، اهمیت بررسی گرانش را بیش از پیش آشکار کرده است. بنابر این حدس نظریه‌ی گرانش در فضا زمانی با هندسه‌ای ویژه، موسوم به  $AdS^6$  با نظریه‌ی میدان‌های کوانتومی همدیس در مرز آن فضا زمان متناظر است.

این به بیان ساده و غیر فنی، بدین معنا است که یک نظریه‌ی گرانش کلاسیک در یک فضا زمان D بعدی با یک نظریه‌ی میدان کوانتومی در یک فضا زمان D-1 بعدی که در آن گرانش وجود ندارد، یکسان است. بنابر این می‌توان محاسباتی را با استفاده از گرانش کلاسیک (نظریه‌ای شبیه به نسبیت عام) در یک فضای D بعدی انجام داد و از نتایج آن برای بررسی جنبه‌های ناشناخته‌ی نظریه‌ی میدان کوانتومی در فضا زمان D-1 بعدی استفاده کرد و یا با بررسی نظریه‌ی میدان کوانتومی در فضا زمان D-1 بعدی به شناختی در مورد گرانش کوانتومی در فضا زمان D بعدی دست پیدا کرد[2].

چگونگی نامگذاری این حدس برگرفته از این واقعیت است که فضای اولی حاصل ضرب یک فضای پاد دو سیته ( $AdS$ ) با یک خمینه بسته مانند کره، خمینه مداری و یا فضای ناجابجایی است، در حالی که نظریه‌ی دوگان، یک نظریه‌ی میدان‌های همدیس یا به اختصار  $CFT^7$  است.

<sup>4</sup> conformal

<sup>5</sup> Juan Martín Maldacena

<sup>6</sup> Anti-de Sitter

<sup>7</sup>Conformal field theory

همدیس یک نوع تبدیل است که شامل تبدیلات پوانکاره<sup>۸</sup>، مقیاس و تبدیلات ویژه همدیس می‌باشد و به آن گروه تقارنی همدیس گفته می‌شود. از نقطه نظر فیزیکی نیز همدیس به معنای این است که مقیاس انرژی نداریم. یعنی فیزیک مسئله در انرژی‌های کم و زیاد بدون تغییر باقی می‌ماند.

معادلات مربوط در  $CFT$  با استفاده از نظریه‌ی ابر تقارن یانگ میلز بررسی می‌شود. این نظریه دارای دو پارامتر بدون بعد است که قدرت جفت شدگی ذرات را نشان می‌دهد: یکی  $N$  که تعداد رنگ‌ها را مشخص می‌کند و دیگری  $g_{YM}$  که ثابت جفت شدگی یانگ میلز نام دارد. ثابت جفت شدگی توفت که مربوط به نظریه‌ی یانگ میلز می‌باشد به صورت  $N^2 g_{YM}^2 = \lambda$  بیان می‌شود. اگر ما ثابت جفت شدگی توفت<sup>۹</sup> را در دمای  $T \neq 0$  بزرگ فرض کنیم به توصیفی از پلاسمای جفت شده‌ی قوی که یکی از زمینه‌های مورد بحث ماست، دست خواهیم یافت.

اهمیت بررسی  $AdS/CFT$  زمانی بیشتر نمایان می‌گردد که در نظر داشته باشیم این دوگانی در بررسی شاخه‌های گوناگون فیزیک نظریه‌ی میدان‌های کوانتومی کاربرد دارد. در واقع فیزیکدان‌ها از نظریه‌ی میدان‌ها برای بررسی فیزیک ذرات بنیادی، فیزیک حالت جامد، ابرشارگی، ابررسانایی و ... استفاده می‌کنند. بنابر این شاید با استفاده از گرانش بتوان به شناخت بسیار عمیق‌تری از دیگر شاخه‌های دیگر فیزیک دست یافت. باید به یاد داشت که بسیاری از این شاخه‌ها ارتباط تنگاتنگی با فناوری دارند. همچنین این تناظر روشی بسیار مفیدی برای مطالعه سیستم‌های همبسته قوی است. چرا که در این سیستم‌ها نمی‌توان از روش اختلال برای مسائلی که دارای ثابت جفت شدگی بالا می‌باشند استفاده کرد [2].

از آنچه که گفته شد روشن است که اهمیت گرانش و مطالعه‌ی آن بیش از یک کنجکاوی هیجان انگیز در فیزیک نظری است.

---

<sup>8</sup> Poincaré

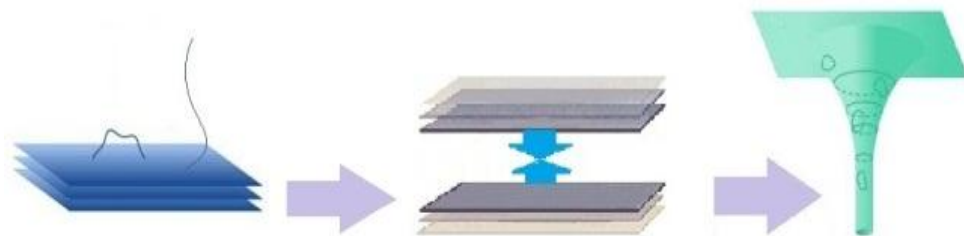
<sup>9</sup> Thooft

برای داشتن تصویری از چگونگی به وجود آمدن فضای  $AdS$  ابتدا شامه را معرفی می‌کنیم. مطابق شکل(۱-۱) یک شامه<sup>۱۰</sup> موجودی است دارای جرم و بار که ریسمان‌های باز و میدان‌ها روی آن زندگی می‌کنند.



شکل(۱-۱) : نمایی از ریسمان‌های باز بر روی یک شامه.

حال مجموعه‌ای از  $N$  شامه‌ی سه بعدی موازی را در فضا زمان ده بعدی در نظر می‌گیریم. چنانچه طول ریسمان به سمت صفر میل کند آنگاه شامه‌ها روی هم واقع می‌شوند و جرم آن بسیار سنگین می‌شود. در این حالت برهم‌کنش بین آنها زیاد شده باعث خمیدگی فضا می‌شوند و در اطراف خود فضای  $AdS$  را به وجود می‌آورند که سبب انتشار ریسمان‌های بسته<sup>۱۱</sup> در فضا می‌شود. این فضا را فضای پاد دو سیته می‌نامند که ثابت کیهانشناسی آن منفی است[۳]. شکل(۲-۱) چگونگی تشکیل فضای  $AdS$  را نشان می‌دهد.



شکل(۲-۱) : تصویری از برهم‌کنش قوی بین شامه‌ها و ایجاد فضای پاد دوسیته.

---

<sup>10</sup>brane

<sup>11</sup>Closed string

از طرفی  $CFT$  در مرز فضا زمان  $AdS$  زندگی می‌کند. بدین صورت دوگانی از نظریه‌ی میدان‌های همدیس و گرانش به وجود می‌آید که این دوگان مربوط به نظریه پیمانه‌ای معادل با نظریه‌ی ریسمان نوع  $IIB$  در فضا زمان  $S_5 \times AdS_5$  می‌باشد که  $S_5$  ابر کره‌های پنج بعدی فشرده و  $AdS_5$  پنج بعد دیگر فضا زمان ده بعدی است و به ما می‌گوید: یک ذره در زمینه‌ی نظریه‌ی میدان‌های همدیس، معادل ریسمان در فضای گرانش است؛ که در آن تنش ریسمان  $\frac{1}{2\pi\alpha'}$  است و به ثابت جفت شدگی توفت به شکل زیر وابسته می‌باشد:

$$\lambda = \frac{R^4}{\alpha'^2} \quad (1-1)$$

که در اینجا  $R$  شعاع خمش فضای  $AdS$ ، و  $\alpha'$  بر حسب طول ریسمان به صورت  $l_s^2 = \alpha'^2$  می‌باشد. تناظر  $AdS / CFT$  از دو توصیف مختلف شامه‌ها به دست آمده است. در این بخش سعی می‌کنیم با ارائه این دو توصیف این تناظر را درک کنیم.

در توصیف اول از دید شامه نگاه می‌کنیم. در این دیدگاه برانگیختگی‌های شامه‌ها، ریسمان بازی هستند که بر روی آنها زندگی می‌کنند و ریسمان‌های بسته بیرون از این شامه منتشر می‌شوند. ریسمان‌های باز و بسته می‌توانند با هم برهم‌کنش داشته باشند و در واقع این ریسمان‌ها همان ذرات هستند. این توصیف از شامه‌ها در حد انرژی‌های پایین معادل با نظریه یانگ میلز با بیشترین ابرتقارن با گروه  $SU(N_c)$  در فضا زمان چهار بعدی می‌باشد.

توصیف دوم از دیدگاه ریسمان‌های بسته می‌باشد. در هندسه فضا زمان تنها ریسمان‌های بسته منتشر می‌شوند. در این توصیف ریسمان‌های باز وجود ندارند و شامه‌ها، فضای  $AdS$  را به وجود می‌آورند.

### ۱-۳-مطالعه‌ی اتلاف انرژی با استفاده از $AdS / CFT$ :

به منظور داشتن درک بهتری از اتلاف انرژی کوارک چرخان ابتدا به توصیف شرایطی که در آن اتلاف انرژی جتها و کوارکها اهمیت پیدا می‌کنند یعنی پلاسمای کوارک گلوئون<sup>۱۲</sup> می‌پردازیم. این توصیف می‌تواند به فهم بیشتر کارهای انجام شده در محیط پلاسما در فصول بعدی کمک کند.

اگرچه طبق اصل حبس کوارکی، کوارکها و گلوئونها نمی‌توانند از یکدیگر جدا شوند اما با بالا بردن دما و فشار می‌توان به فاز جدیدی از ماده موسوم به کوارک گلوئون پلاسما (QGP) دست یافت که در آن کوارکها و گلوئونها در محدوده زمانی  $10^{-23}$  ثانیه می‌توانند از قید یکدیگر آزاد شوند. هنگامی که دو یون سنگین نسبیتی طلا(سرب) در برخورد دهنده‌ی بزرگ هادرتونی RHIC (LHC) ، برخورد داده شوند پلاسمای کوارک گلوئون به وجود می‌آید. از آنجا که زمان به وجود آمدن این فاز برای مشاهده توسط آشکارسازهای موجود کم می‌باشد نمی‌توان این محیط را دید بلکه اثرات ناشی از آن قابل مشاهده می‌باشد. پس از برخورد یون‌های سنگین، با جهش ذراتی موسوم به "جت"<sup>۱۳</sup> در محل برخورد مواجه خواهیم شد.

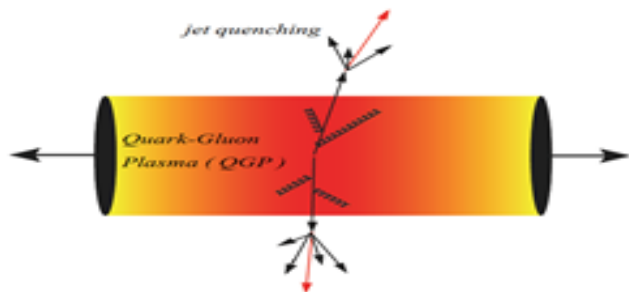
به‌طور نظری می‌دانیم که در محل برخورد، دیواره‌ای از آتش وجود دارد که اگر کوارکی از آن بیرون بیاید مشاهده پذیر می‌شود و در غیر این صورت مشخصاً کوارک در آن ناحیه به دام افتاده است؛ پس اصل بقای تکانه به نحوی پایسته می‌ماند. چنانچه برخی از این جتها ای از تولید شده در داخل پلاسما تابش کنند و محو شوند پدیده‌ای به نام "خاموشی جت"<sup>۱۴</sup> رخ خواهد داد که از آن به عنوان فاکتوری برای تشخیص تشکیل پلاسمای کوارک گلوئون استفاده می‌کنند. خاموشی جتها مثالی از اتلاف انرژی پارتون‌های نسبیتی در این محیط است.

<sup>12</sup> Quark Gluon Plasma (QGP)

<sup>13</sup> Jet

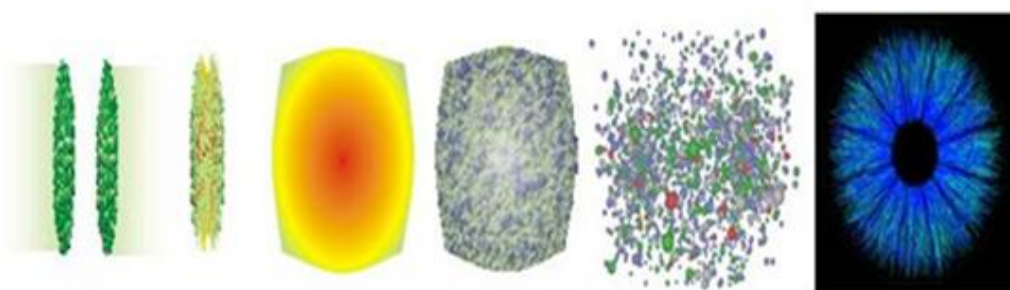
<sup>14</sup> Jet quenching

شکل(۱-۳) طرح وارهای از این فرایند می‌باشد.



شکل(۱-۳) : فرایند خاموشی جت. مقایسه‌ی جت‌های خروجی در دو جهت بالا و پایین پلاسما.

همانطور که شکل(۱-۳) نشان می‌دهد تعداد جت‌های خارج شده از قسمت بالایی محیط QGP با تعداد جت‌های خارج شده از قسمت پایینی متفاوت است. جهت و اندازه‌ی تکانه‌ی ذرات در این محیط، نقش مهمی در به دام افتادن جتها و اتلاف انرژی آنها دارند. به طور مثال ذرات تولید شده‌ای که سرعت کافی برای خروج از پلاسما را ندارند یا ذراتی که جهت حرکت نامناسبی دارند پیش از خروج از این محیط انرژی خود را از دست می‌دهند و سبب ایجاد عدم تقارن در جت‌های خروجی می‌شوند. پس از تولید ذرات در پلاسما دمای محیط به مرور زمان کم می‌شود و برهم‌کنش بین ذرات بیشتر می‌شود؛ در نتیجه جفت شدگی بزرگ می‌شود. در این زمان پلاسما وارد فاز دیگری به نام فاز هادرونی شده است. شکل (۱-۴) مراحل تشکیل پلاسما را نشان میدهد.



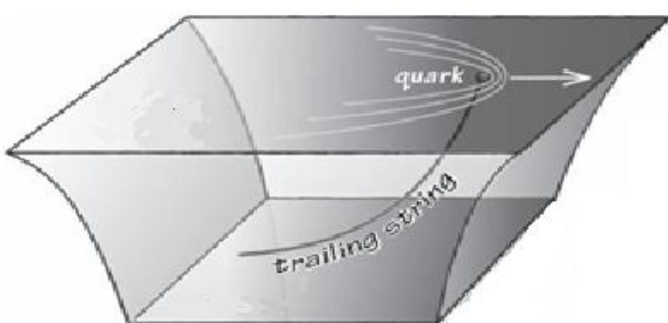
شکل(۱-۴) : مراحل تشکیل پلاسما.

مراحل مختلف در شکل (۱-۴) از چپ به راست به ترتیب عبارتند از: نزدیک شدن دو یون نسبیتی به یکدیگر، برخورد یون‌ها، تشکیل دیواره‌ی آتش، تشکیل پلاسما، مرحله‌ی هادرون‌سازی، تشکیل جت و

آشکارسازی. از آنجا که QGP در دماهای بالا و چگالی بالای باریونی به وجود می‌آید انتظار می‌رود این پلاسمای در پیدایش جهان اولیه و مرکز ستاره‌های چگال نقش داشته باشد.

اکنون با داشتن تصویری از پلاسمای کوارک گلوبن دوباره به مسئله‌ی اتلاف انرژی کوارک چرخان باز می‌گردیم.

با استفاده از تناظر AdS/CFT ، کوارکی که در مسیر مستقیم با سرعت ثابت حرکت می‌کند را می‌توان با استفاده از نظریه‌ی مرزی توسط یک جهان سطح ریسمان توصیف کرد که شکل آن با زمان تغییر نمی‌کند. معیار صحیح برای تعیین آهنگ از دست رفتن انرژی تعیین  $dE/dt$  می‌باشد. به طور مثال زمانی که یک کوارک سنگین در پلاسمای جفت شده قوی حرکت می‌کند یک نیروی مقاوم خلاف جهت به کوارک وارد می‌شود و باعث اتلاف انرژی می‌شود. این نیرو در تعیین شکل ریسمان نیز موثر است. شکل(۱-۵) نیروی مقاوم وارد بر دوگان گرانش کوارک یعنی ریسمان را نشان می‌دهد که باعث خمش ریسمان شده است. اولین محاسبات مربوط به نیروی مقاوم در مراجع [۴,۵] آمده است.



شکل(۱-۵) : چگونگی اثر نیروی مقاوم بر ریسمان.

در شکل (۱-۵) منحنی‌های ایجاد شده در اطراف کوارک متحرک چگالی انرژی اتلافی را نشان می‌دهد. به طور کل انتظار داریم با افزایش سرعت حرکت کوارک، نیروی وارد بر ذره افزایش یابد و شکل ریسمان خمیده‌تر شود. زیرا با افزایش سرعت، لختی ریسمان منجر به افزایش خمش آن و در نتیجه افزایش نیروی مقاوم می‌شود. می‌توان نیروی مقاوم را در دو حالت دمای غیر صفر و دمای صفر

بررسی کرد. شرایط دمای صفر را نمی‌توان برای محیط‌هایی نظیر محیط‌های کوارک گلوئون پلاسما در نظر گرفت. ولی سیستم‌هایی وجود دارد که می‌توان از این محاسبات در آن‌ها استفاده کرد. این شرایط و سیستم‌ها را بیشتر می‌توان در حوزه ماده چگال یافت؛ چرا که به رغم پایین بودن دما ذرات‌شان برهمنش قوی دارند و با تقریب خوبی برای آن‌ها می‌توان از محاسبات دمای صفر دوگانی AdS/CFT استفاده کرد.[6]

نتایج نشان می‌دهد برای کوارک چرخان در پلاسمای کوارک گلوئون اتلاف انرژی از دو طریق اتفاق می‌افتد: (الف) نیروی مقاوم؛ (ب) تابش.

این در حالی است که در خلاء نسبیتی تنها منبعی که سبب اتلاف انرژی می‌شود تابش است.

**(الف) محاسبه‌ی اتلاف انرژی نیروی مقاوم با استفاده از تناظر AdS/CFT:**

همانطور که از شکل (۱-۵) مشخص می‌شود، کوارک در حال حرکت از سمت محیط نیرویی را احساس می‌کند که باعث از دست رفتن بخشی از انرژی‌اش می‌شود. در این بخش ما می‌خواهیم این اتلاف انرژی را با استفاده از کنش نامبو گوتو<sup>۱۵</sup> که به صورت زیر می‌باشد به دست آوریم:

$$S = \int_{\tau_i}^{\tau_f} d\tau \int_0^\sigma d\sigma L(\dot{X}^\mu, X^\mu) \quad (۲-۱)$$

در این فرمول  $X^\mu$  بیان‌گر جهان سطح<sup>۱۶</sup> ریسمان است،  $L$  چگالی لاغرانژی و  $(\sigma, \tau)$  متغیرهای جهان سطحی است که ریسمان جاروب می‌کند.

چگالی لاغرانژی مطابق فرمول زیر می‌باشد:

$$L(\dot{X}^\mu, X^\mu) = -\frac{T_0}{c} \sqrt{(\dot{X}^\mu \dot{X}^\nu)^2 - (\dot{X}^\mu)^2 (X^\nu)^2} \quad (۳-۱)$$

---

<sup>15</sup>Nambu-Goto

<sup>16</sup>World-sheet

و  $T_0$  تنش ریسمان می‌باشد. با استفاده از وردش کنش نامبو گوتو داریم:

$$\delta S = \int_{\tau_i}^{\tau_f} d\tau \int_0^\sigma d\sigma \left[ \frac{\partial L}{\partial \dot{X}^\mu} \frac{\partial(\delta X^\mu)}{\partial \tau} + \frac{\partial L}{\partial X^\mu} \frac{\partial(\delta X^\mu)}{\partial \sigma} \right] \quad (4-1)$$

که در آن از  $\delta X^\mu = \delta \frac{(\partial X^\mu)}{\partial \sigma} = \frac{\partial(\delta X^\mu)}{\partial \sigma}$  و  $\delta \dot{X}^\mu = \delta \frac{(\partial X^\mu)}{\partial \tau} = \frac{\partial(\delta X^\mu)}{\partial \tau}$  استفاده شده است.

اکنون می‌توان اتلاف انرژی کل را از فرمول‌های زیر بدست آورد:

$$\frac{dE}{dt} = P_\mu^\sigma = \frac{-T_0}{c} \frac{(\dot{X}^\mu \dot{X}^\nu) \dot{X}_\mu - \dot{X}^2 \dot{X}_\nu}{\sqrt{(\dot{X}^\mu \dot{X}^\nu)^2 - (\dot{X}^\mu)^2 (\dot{X}^\nu)^2}} \quad (5-1)$$

$$\frac{dE}{dt} = P_\mu^\tau = \frac{-T_0}{c} \frac{(\dot{X}^\mu \dot{X}^\nu) \dot{X}_\mu - \dot{X}^2 \dot{X}_\nu}{\sqrt{(\dot{X}^\mu \dot{X}^\nu)^2 - (\dot{X}^\mu)^2 (\dot{X}^\nu)^2}} \quad (6-1)$$

در مرجع [7] به تفصیل به محاسبه‌ی روابط فوق پرداخته شده است. حال می‌توان نشان داد انرژی اتلافی کل در محیط پلاسمای کوارک گلوئون به صورت زیر بدست می‌آید:

$$\frac{dE}{dt} = \frac{\sqrt{\lambda}}{2\pi} \omega \Pi \quad (7-1)$$

و  $\Pi$  ثابت حرکت،  $\omega$  سرعت زاویه‌ای کوارک چرخان و  $\lambda$  مطابق فرمول (1-1) ثابت جفت شدگی توفت می‌باشد. اگر از ابتدای حل این مسئله تمام پارامترها را بر مبنای دما (جایی که از هندسه‌ی سیاه‌چاله بهره می‌بریم) بنویسیم مطابق مرجع [1]، انرژی اتلافی به صورت زیر به دست می‌آید.

$$\frac{dE}{dt} = \frac{\pi}{2} \sqrt{\lambda} T^2 \Pi \omega \quad (8-1)$$

ظاهر شدن دما در این رابطه نشان دهنده‌ی این است که محیط مورد مطالعه پلاسمای کوارک گلوئون می‌تواند باشد. انرژی اتلافی ناشی از نیروی مقاوم کوارکی که در مسیر مستقیم حرکت می‌کند در مرجع [8,9] نشان داده شده است که به صورت زیر می‌باشد.

$$\frac{dE}{dt} = \frac{\pi}{2} \sqrt{\lambda} T^2 \frac{v^2}{\sqrt{1-v^2}} \quad (9-1)$$

در این رابطه  $v$  سرعت حرکت کوارک می‌باشد. این فرمول ابزار مفیدی برای حل عددی انرژی اتلافی می‌باشد به طوری که می‌توان با تغییر  $\Pi$  و  $\omega$  تاثیر این دو پارامتر را بر روی اتلاف انرژی مورد بحث قرار داد.

### ب) محاسبه‌ی اتلاف انرژی تابش با استفاده از تناظر $AdS/CFT$ :

یک ذره‌ی باردار چرخان هنگام حرکت در مسیر دایره‌ای بخشی از انرژی خود را به صورت گسیل تابش از دست می‌دهد. برای یک کوارک چرخان در پلاسمما اتلاف انرژی از دو طریق صورت می‌گیرد؛ تابش و نیروی مقاوم که تابش کوارک با گسیل کوانتای میدان همراه است.

در فضا زمان نسبیتی انرژی اتلافی ناشی از تابش به صورت زیر می‌باشد:

$$\frac{dE}{dt} = \frac{\sqrt{\lambda}}{2\pi} \frac{v^2 \omega^2}{(1-v^2)^{1/2}} \quad (10-1)$$

این فرمول نخستین بار توسط میخایلف[10] برای تابش یک کوارک چرخان مطرح شد. نکته‌ی جالب توجه در فرمول این است که با تغییر  $\frac{2e^2}{3}$  به  $\frac{\sqrt{\lambda}}{2\pi}$  نتایج این فرمول با نتایج فرمول لئونارد[11] برای تابش الکترومغناطیس یکسان است. این فرمول، این امکان را برای ما فراهم می‌آورد که با تغییر  $\Pi$  و  $\omega$  اتلاف انرژی کل را با آهنگ انرژی اتلافی تابشی مقایسه کنیم.

اکنون می‌توان با در دست داشتن روابط مربوط به اتلاف انرژی کل، نیروی مقاوم و نیروی تابشی انرژی از دست رفته را در هر یک از این سه حالت بررسی کرده و با یکدیگر مقایسه کرد. همچنین می‌توان انتظار داشت در سرعت‌های زاویه‌ای متفاوت، انرژی اتلافی کل با هر یک از روابط (9-1) یا (10-1) برابر شود.

به طور کل نتایج به دست آمده بر این حقیقت دلالت می‌کند که اتلاف انرژی اتلافی در محیطی با دمای صفر برابر نیست با اتلاف انرژی در محیطی با دمای مخالف صفر.

#### ۱-۴- فضا زمان غیرنسبیتی:

در بخش پیش با بررسی اتلاف انرژی دریافتیم که انرژی از دست رفته بسته به محیط یا سرعت کوارک از طریق تابش و نیروی مقاوم خواهد بود. هندسه‌ی مورد نظر را نسبیتی در نظر گرفته، محاسبه‌ی آن‌ها را با استفاده از تناظر AdS/CFT انجام دادیم.

محاسبات نشان می‌دهد با تغییر فضا زمان نسبیتی به غیرنسبیتی روابط مربوط به اتلاف انرژی نیز تغییر می‌کند. به طوری که برخلاف انتظار ما از خلاء نسبیتی، در خلاء غیرنسبیتی نیروی مقاوم بدون حضور ماده نیز بر ذره‌ی در حال حرکت وارد می‌شود.

برای شناخت بیشتر این فضا متریک زیر را در نظر بگیرید:

$$ds_{d+2}^2 = r^{\frac{2\theta}{d}} \left( \frac{-dt^2}{r^{2z}} + \frac{dr^2}{r^2} + \frac{d\rho^2}{r^2} + \frac{\rho^2 d\phi^2}{r^2} + \frac{\sum_{i=3}^d dx_i^2}{r^2} \right) \quad (11-1)$$

که در اینجا  $\phi, \rho$  مولفه‌های مختصات قطبی هستند و  $r$  بعد هولوگرام می‌باشد.  $d$  ابعاد فضا،  $x_i$  جهت‌های خاص فضا،  $t$  بعد زمان و  $z$  و  $\theta$  توان‌های دینامیکی و ابرمقیاس می‌باشند [12].

نخستین جمله در متریک فوق نشان می‌دهد که با انتخاب  $z \neq 1$  مرتبه‌ی تغییرات زمان و مکان مشابه نخواهد بود. این انتخاب به مفهوم غیرنسبیتی بودن فضا زمان منجر می‌شود.

فضا زمان غیر نسبیتی شامل فضا زمان شرودینگر و فضا زمان لیف‌شیتز می‌باشند. اگر  $z$  را برابر ۲ انتخاب کنیم فضا زمان مورد مطالعه، فضا زمان شرودینگری است. با انتخاب  $z \neq 1, 2$  فضا زمان مورد مطالعه را فضا زمان لیف‌شیتز اختیار کرده‌ایم.

## ۱-۵- مروری کوتاه بر کارهای انجام شده:

- در مرجع [13] مسئله‌ی کوارک چرخان در محیط پلاسمای جفت شده‌ی قوی برای دو محیط همسانگرد و ناهمسانگرد مورد بحث و مقایسه قرار می‌گیرد. به منظور داشتن توصیف مناسبی از پلاسمای ناهمسانگرد می‌توان گفت پلاسمای تولید شده دقیقاً بعد از برخورد یون‌های سنگین، در کسری از زمان ناهمسانگرد است و پس از آن تبدیل به پلاسمای همسانگرد می‌شود.

نتایج ناشی از آن بر این حقیقت دلالت می‌کند که ناهمسانگردی در محیط بر روی انرژی اتلافی کوارک سنگین اثر می‌گذارد؛ به شکلی که برای  $v$  و  $\omega$  یکسان نرخ اتلاف انرژی ناشی از تابش در پلاسمای ناهمسانگرد کمتر از مقدار آن در محیط همسانگرد می‌باشد (به جز برای  $v$  های بزرگ و  $\omega$  های کوچک که شبیه به اتلاف انرژی ناشی از نیروی مقاوم رفتار می‌کنند). این مهم است که بدانیم انرژی از دست رفته‌ی پارتون‌ها به جهت نسبی بین ناهمسانگردی و سرعت کوارک بستگی دارد.

در این مرجع متريک همسانگرد زير در نظر گرفته می‌شود:

$$ds^2 = f(u)(g(u)dt^2 + d\rho^2 + \rho(u)^2 d\psi^2 + h(u)du^2) + G_{zz}(u)dz^2 \quad (12-1)$$

که  $z, \psi, \rho$  مولفه‌های مختصات استوانه‌ای هستند و  $u$  بعد هولوگرام می‌باشد. با استفاده از متريک (12-1) معادله‌ی حرکت به دست آمده، با حل اين معادله، بر روی انرژی اتلافی کوارک چرخان در پلاسمای همسانگرد بحث می‌شود. اتلاف انرژی در اين حالت از رابطه‌ی زير به دست می‌آيد:

$$\frac{dE}{dt} = -\frac{G_{tt}G_{\phi\phi}\omega\theta'}{2\pi\alpha'L} = \frac{\Pi\omega}{2\pi\alpha'} = \frac{|G_{tt}(u_c)|}{2\pi\alpha'} \quad (13-1)$$

به منظور مقایسه با حالت ناهمسانگرد متريک زمينه را تغيير داده و متريک پلاسمای ناهمسانگرد را

كه به صورت زير است می نويسيم:

$$ds^2 = \frac{L^2}{u^2} (-FBdt^2 + dx^2 + dy^2 + Hdz^2 + \frac{du^2}{F}) + L^2 e^{\phi/2} ds_s^2 \quad (14-1)$$

كه  $F$  ،  $B$  و  $H$  توابع متريک معروفی شده در مرجع [13] می باشند. حال انرژی اتلافی به شکل زير

بدست می آيد:

$$\frac{dE}{dt} = \frac{\Pi\omega}{2\pi\alpha'} = \frac{1}{2\pi\alpha'} \frac{F_c B_c}{u_c} \quad (15-1)$$

مقاييسه اتلاف انرژي در دو حالت ذكر شده نشان مي دهد که برای سرعت های خطی و زاویه ای یکسان، انرژی از دست رفته ای ناشی از تابش در محیط ناهمسانگرد کمتر از میزان این اتلاف انرژی در محیط همسانگرد است. همچنین شعاع کوارک چرخان در مرز (به جز برای سرعت های زاویه ای کوچک و ناهمسانگردی  $a/T \approx 4.4$ ) در محیط ناهمسانگرد، از شعاع این کوارک در محیط همسانگرد بزرگ تر است.

شعاع ریسمان متصل به کوارک نیز در افق، برای ناهمسانگردی های کوچک و سرعت های زاویه ای بزرگ کوچک تر است از این شعاع در محیط همسانگرد. این در حالی است که برای ناهمسانگردی های بزرگ، در هر سرعت زاویه ای دلخواهی، شعاع ریسمان در افق بزرگ تر است از این شعاع در محیط همسانگرد. در نتیجه می توان گفت ناهمسانگردی بر روی شکل ریسمان چرخان نیز تأثیر گذار است. در اين مرجع نشان داده می شود که شعاع چرخش ریسمان با افزایش ناهمسانگردی تغیيرات معناداري پیدا می کند.

اين نكته نيز حائز اهميت است که در  $\Pi$  های بزرگ، ناهمسانگردی توسط کوارک مشاهده نمي شود در حالی که ناهمسانگردی در  $\Pi$  های کوچک تأثیر معناداري بر روی کوارک چرخان دارد. در فصل دوم

درباره‌ی مفهوم  $\Pi$  به طور کامل بحث خواهیم کرد. پرداختن به مسئله‌ی ناهمسانگردی در حوزه‌ی کار ما نخواهد بود و از آنجا که روابط ما در محیط همسانگرد است، از مرجع [13] تنها برای بررسی رفتار ریسمان در زمینه‌ی کلی و انرژی از دست رفته پلاسمای همسانگرد در فصل دوم استفاده خواهیم کرد.

- در مرجع [1] با پرداخت دوباره به مسئله‌ی کوارک چرخان در پلاسمای جفت شده‌ی قوی رفتار کوارک و انرژی اتلافی آن در این محیط بررسی می‌شود.

نتایج موجود در این مرجع نشان می‌دهد با در نظر گرفتن دو حد  $v = \ell w = cte, a = vw \rightarrow 0$  و  $v = \ell w = cte, a = vw \rightarrow \infty$ ، برای کوارک چرخان در پلاسمای کوارک گلئون، در سرعت‌های زاویه‌ای کم رفتار کوارک چرخان در مرز مشابه رفتار کوارک در حال حرکت در مسیر مستقیم است و انرژی اتلافی آن ناشی از حضور نیروی مقاوم می‌باشد. این در حالی است که در سرعت‌های زاویه‌ای بالاتر انرژی اتلافی ناشی از تابش و نیروی مقاوم خواهد بود و چنانچه سرعت زاویه‌ای زیاد اختیار شود سهم اتلاف انرژی نیروی مقاوم در مقابل انرژی از دست رفته‌ی تابشی اندک خواهد بود. همچنین برای کوارک چرخان در خلاء نیروی مقاوم وجود ندارد و اتلاف انرژی از طریق تابش صورت می‌گیرد. برای به دست آوردن ارتباط اتلاف انرژی کوارک در پلاسما با سرعت‌های زاویه‌ای بالا از فرمول میخایل استفاده می‌شود. محاسبات مربوط به این مرجع در فصل دوم انجام شده است.

- در مرجع [12] مسئله‌ی کوارک چرخان در فضا زمان غیرنسبیتی برای پلاسمای همسانگرد و ناهمسانگرد بررسی می‌شود. متريک استفاده شده در اين فضا زمان متريک ابر مقیاس است که برای پلاسمای همسانگرد به صورت زير می‌باشد:

$$ds_{d+2}^2 = r^{\frac{2\theta}{d}} \left( \frac{-dt^2}{r^{2\zeta}} + \frac{dr^2}{r^2} + \frac{d\rho^2}{r^2} + \frac{\rho^2 d\phi^2}{r^2} + \sum_{i=3}^d \frac{dx_i^2}{r^2} \right) \quad (16-1)$$

توضیح این متریک در فصل سوم آمده است. در این مقاله با روشن کردن  $\theta$  و انتخاب  $z = 2$  نمودار تغییرات شعاع ریسمان بر حسب بعد هولوگرام رسم می‌شود. اتلاف انرژی نیروی مقاوم در پلاسما با فرمول زیر داده می‌شود:

$$\frac{dE}{dt} = \prod_x v = -\frac{v^2}{2\pi\alpha'} v^{\frac{2(d-\theta)}{d(z-1)}} \quad (17-1)$$

همچنین نمودار اتلاف انرژی کل نیز رسم می‌شود. محاسبات انجام شده در این مرجع ریسمان‌های باز و بسته را شامل می‌شود. از دیگر مسائل مورد بررسی این مقاله، تأثیر توان‌های دینامیکی و ابرمقیاس بر حرکت کوارک چرخان، اتلاف انرژی و آنتروپی آن، در محیط همسانگرد و ناهمسانگرد است. در فصل سوم به طور مفصل به بررسی حرکت کوارک چرخان و اتلاف انرژی آن در محیط همسانگرد خواهیم پرداخت.

- در مرجع [14] اتلاف انرژی ناشی از نیروی مقاوم در فضا زمان غیرنسبیتی مورد بررسی قرار می‌گیرد. متریک زمینه‌ی مورد استفاده لیف‌شیتز است:

$$ds^2 = l^2 (-r^{2z} f(r) dt^2 + \frac{dr^2}{r^2 f(r)} + r^2 (\vec{dx}_i)^2) \quad (18-1)$$

در این مرجع نیز مانند قبل پس از بدست آوردن معادله‌ی حرکت ریسمان، انرژی اتلافی ناشی از نیروی مقاوم مربوط به متریک لیف‌شیتز مورد بررسی قرار می‌گیرد که در فصل سوم به آن می‌پردازیم.

## فصل دوم

### بررسی اتلاف انرژی کوارک چرخان در فضا زمان نسبیتی

مقدمه 

ریسمان چرخان در زمینه‌ی کلی 

ریسمان چرخان در زمینه‌ی  $AdS$  

ریسمان چرخان در خلاء نسبیتی 

اتلاف انرژی کوارک چرخان 

انرژی از دست رفته در دو حد متفاوت 

## ۱-۲-مقدمه:

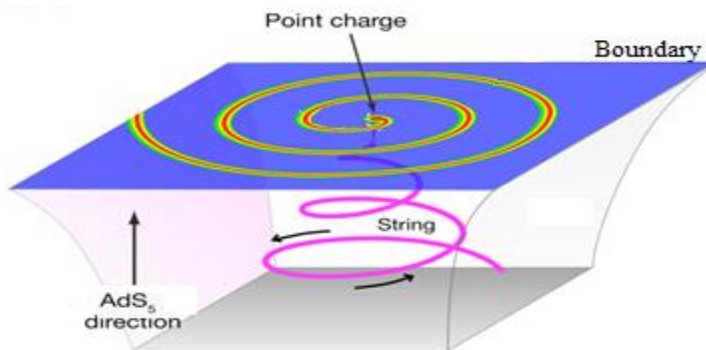
در این فصل با استفاده از تناظر AdS/CFT مسئله‌ی کوارک چرخان را در محیط پلاسمای خلأ مورد بررسی قرار می‌دهیم. سپس با به دست آوردن معادلات حرکت و حل این معادلات، بر روی انرژی اتلافی بحث می‌کنیم.

زمانی که یک کوارک سنگین در محیط حرکت می‌کند بسته به محیطی که در آن قرار دارد و نوع حرکت آن بخشی از انرژی خود را از دست می‌دهد. اگر این کوارک در پلاسمای جفت شده قوی حرکت کند یک نیروی مقاوم خلاف جهت به کوارک وارد می‌شود و باعث از دست رفتن بخشی از انرژی می‌شود. چنانچه کوارک آزمون در این محیط، در حال چرخیدن بر روی یک دایره باشد، تابش نیز سهمی در اتلاف انرژی خواهد داشت. اما اگر کوارک چرخان آزمون به محیط خلاء برده شود، انرژی اتلافی تماماً ناشی از تابش می‌باشد و نیروی مقاوم به دلیل عدم حضور ماده وجود ندارد.

## ۲-۲-ریسمان چرخان در زمینه‌ی کلی:

اکنون به مسئله کوارک چرخان در محیط پلاسمای باز می‌گرددیم.

بدین منظور یک کوارک آزمون سنگین را در نظر می‌گیریم که مانند شکل (۱-۲) در دایره‌ای به شعاع  $\ell$  با سرعت زاویه‌ای  $\omega$  در حال حرکت است. در این صورت، سرعت کوارک  $v = \ell\omega$  و شتاب عمودی آن  $a = v\omega = \omega^2 l$  خواهد بود. از آنجایی که در این مسئله کوارک با سرعت ثابت حرکت می‌کند شتاب مماسی وجود ندارد. شتاب عمودی وارد شده، به کوارک چرخان باعث می‌شود که هر چه به داخل فضای حجم پیش رویم شعاع دوران ریسمان معادل آن بیشتر شود.



شکل (۱-۲) : نمایی از ریسمان متصل به کوارک چرخان.

همانطور که در شکل (۱-۱) دیده می‌شود کوارک چرخان در CFT وجود دارد که دوگان آن یعنی ریسمان در فضای AdS در حال دوران است. مرز در مسائل مورد بررسی ما جایی است که شعاع چرخش ریسمان صفر است که در این مکان، شعاع چرخش کوارک / خواهد بود و بسته به شرایط مسئله می‌تواند در  $0 = u = \infty$  یا با اختیار شود. چنانچه در محیط مورد مطالعه آثار دما وجود داشته باشد سیاه چاله را به عنوان سیستمی دارای دما، در محیط AdS وارد می‌کنیم که دمای آن معادل با دمای هاوکینگ<sup>۱۷</sup> است. در این صورت ریسمان آویزان در فضای حجم به افق سیاه چاله ختم می‌شود. در نتیجه رفتار ریسمان را تا نقطه‌ی  $u_h = u$  مورد بررسی قرار می‌دهیم؛ که  $u_h$  افق سیاه‌چاله را نشان می‌دهد. حال اگر دما صفر در نظر گرفته شود، محیط مورد مطالعه خلاً خواهد بود. از آنجا که این محیط همدیس است و فیزیکش در انرژی‌های بالا و پایین بدون تغییر باقی می‌ماند پس می‌توان گفت رفتارش شبیه به CFT است و استفاده از روش AdS/CFT برای حل مسائل این محیط مفید خواهد بود.

نیروهای اعمال شده بر کوارک باعث اتلاف بخشی از انرژی می‌شود. در این پایان نامه هدف کلی ما بدست آوردن  $dE/dt$  یا همان آهنگ اتلاف انرژی در واحد زمان است. به طور کل می‌توان گفت در غیاب ماده، تنها انرژی اتلافی کوارک چرخان ناشی از تابش سینکروترونی آن است؛ در حالی که در

---

<sup>17</sup> Howking

حضور ماده علاوه بر این تابش، بخشی از انرژی از دست رفته به دلیل نیروی مقاومی است که از طرف ماده بر کوارک در حال حرکت وارد می شود. پیشتر گفتیم که دوگان گرانشی یک کوارک آزمون ریسمان بازی است که بر روی یک شامه زندگی می کند. در این قسمت ما مسئله کوارک چرخان را در زمینه عمومی بررسی می کنیم. سپس از نتایج این بخش برای ادامه محاسبات در بخش های بعدی استفاده خواهیم کرد. شکل کلی متريک قطری در زمینه عمومی به این صورت است:

$$ds^2 = G_{tt} dt^2 + G_{\rho\rho} d\rho^2 + G_{\psi\psi} d\psi^2 + G_{zz} dz^2 + G_{uu} du^2 \quad (1-2)$$

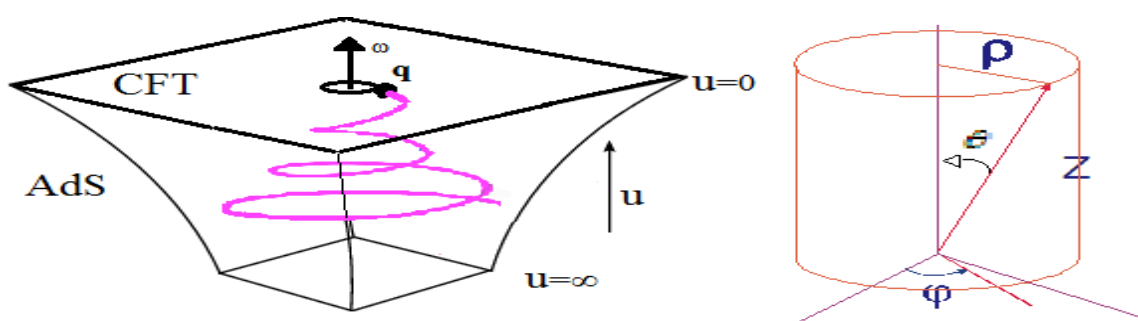
در اين مختصات  $u$  بعد شعاعی هلوگرافی است؛ و  $t, \rho, \psi$  و  $z$  مؤلفه های فضایی هستند که کوارک در آن قرار دارد. برای پیدا کردن انرژی اتصالی ریسمان چرخان ابتدا باید جهان سطحی که ریسمان متصل به کوارک آن را می بیند بیابیم. متغیرهای جهان سطحی که ریسمان جاروب می کند  $(\sigma, \tau)$  هستند و نگاشت آن به فضا زمان با حدس زیر داده می شوند.

$$x^\mu(\tau, \sigma) \equiv (t = \tau, u = \sigma, \rho = \rho(u), \psi = \omega\tau + \theta(u), x_3 = 0) \quad (2-2)$$

که  $(\rho, \theta, \psi)$  مختصات فضای استوانه ای هستند. به منظور توصیف بهتر موقعیت کوارک بر روی شامه های سه بعدی، شرایط مرزی نقطه های انتهایی ریسمان را به صورت زیر بیان می کنیم:

$$\rho(0) = l, \quad \theta(0) = 0 \quad (3-2)$$

شکل (۲-۲) تصویر مناسبی از مختصات استفاده شده در فضای AdS/CFT را نشان می دهد.



شکل (۲-۲) : مختصات به کار رفته در فضای AdS/CFT

محاسبات خود را با اصل کمینه کردن<sup>۱۸</sup> کنش شروع می‌کنیم. کنش نامبو گوتو به صورت زیر می‌باشد:

$$S = \frac{-1}{2\pi\alpha'} \int d\tau d\sigma L = \frac{-1}{2\pi\alpha'} \int d\tau d\sigma \sqrt{-\det g_{\mu\nu}} \quad (4-2)$$

که  $g_{\mu\nu}$  متريک القايی<sup>۱۹</sup> و برابر  $G_{MN} \partial_\mu X^M \partial_\nu X^N$  می‌باشد و  $G_{MN}$  متريک زمينه<sup>۲۰</sup> يا متريک هدف است [1]. با استفاده از شكل کلي متريک داده شده و جهان سطح مربوطه و همچنین با داشتن  $g_{\mu\nu}$  به صورت:

$$g_{\mu\nu} = \begin{pmatrix} G_{tt} + G_{\psi\psi}\omega^2 & G_{\psi\psi}\omega\theta' \\ G_{\psi\psi}\omega\theta' & G_{uu} + G_{\rho\rho}\rho'^2 + G_{\psi\psi}\theta'^2 \end{pmatrix} \quad (5-2)$$

می‌توان با گرفتن دترمینان و قرار دادن آن در معادله  $L = \sqrt{-\det g_{\mu\nu}}$  نشان داد که چگالی لاگرانژی به صورت زير است:

$$L = \left[ -G_{uu}(G_{tt} + G_{\psi\psi}\omega^2) - G_{\rho\rho}(G_{tt} + G_{\psi\psi}\omega^2)\rho'^2 - G_{tt}G_{\psi\psi}\theta'^2 \right]^{1/2} \quad (6-2)$$

که در اينجا مؤلفه‌ي پرايمدار بر مشتق نسبت به بعد هولوگرام دلالت می‌کند. يكى از ويزگى‌های اين چگالی لاگرانژی اين است که  $\theta$  در آن مستقيم وارد نمی‌شود و بنابر اين، تکانه‌ي آن ثابت حرکت خواهد بود. اين ثابت حرکت  $\Pi$  ناميده می‌شود و فقط وابسته به  $(u)\theta'$  است که نقش مهمی در اتلاف انرژى دارد. در ادامه خواهيم ديد که انرژى از دست رفته در محيط توسط کوارک چرخان متناسب با ثابت حرکت  $\Pi$  می‌باشد. در نتيجه معادله‌ي حرکت برای  $\theta$  به شكل زير خواهد بود:

$$\Pi = \frac{\partial L}{\partial \theta'} = \frac{-\theta' G_{tt} G_{\psi\psi}}{L} = cte \quad (7-2)$$

---

<sup>18</sup>Least Action

<sup>19</sup>induced metric

<sup>20</sup>Target metric

با به توان دو رساندن طرفین معادله‌ی (۷-۲) به طور معادل خواهیم داشت:

$$\begin{aligned}\Pi^2 &= \frac{G_{tt}^2 G_{\psi\psi}^2 \theta'^2}{-G_{uu}(G_{tt} + G_{\psi\psi} \omega^2) - G_{\rho\rho}(G_{tt} + G_{\psi\psi} \omega^2) \rho'^2 - G_{tt} G_{\psi\psi} \theta'^2}; \\ \Pi^2 &= -\frac{G_{tt}^2 G_{\psi\psi}^2 \theta'^2}{(G_{tt} + G_{\psi\psi} \omega^2)(G_{uu} + \rho'^2 G_{\rho\rho}) + G_{tt} G_{\psi\psi} \theta'^2}; \\ \Pi^2(G_{tt} + G_{\psi\psi} \omega^2)(G_{uu} + \rho'^2 G_{\rho\rho}) + \Pi^2 G_{tt} G_{\psi\psi} \theta'^2 &= -G_{tt}^2 G_{\psi\psi}^2 \theta'^2; \\ \Pi^2 G_{tt} G_{\psi\psi} \theta'^2 + G_{tt}^2 G_{\psi\psi}^2 \theta'^2 &= -\Pi^2(G_{tt} + G_{\psi\psi} \omega^2)(G_{uu} + \rho'^2 G_{\rho\rho}); \\ \Rightarrow \theta'^2(u) &= -\frac{\Pi^2(G_{tt} + G_{\psi\psi} \omega^2)(G_{uu} + \rho'^2 G_{\rho\rho})}{G_{tt} G_{\psi\psi} (G_{tt} G_{\psi\psi} + \Pi^2)}\end{aligned}\quad (8-2)$$

می‌دانیم که  $\theta'^2$  همواره مثبت است. از طرفی  $G_{tt}$  مسئله همواره منفی است. پس هرگاه مخرج تغییر علامت دهد صورت هم باید تغییر علامت دهد تا بتوانیم  $\theta'^2$  مثبت داشته باشیم. نقطه‌ای که در آن ریشه صورت و مخرج همزمان تغییر علامت می‌دهند را  $u_c$  می‌نامیم که در آن نقطه شعاع دایره  $\rho_c$  است.

$$\begin{aligned}G_{tt}(u_c) + G_{\psi\psi}(u_c)\omega^2 &= 0 \\ G_{tt}(u_c)G_{\psi\psi}(u_c) + \Pi^2 &= 0\end{aligned}\quad (9-2)$$

حال با توجه به معادلات (۹-۲) می‌توان نوشت:

$$\begin{aligned}|G_{tt}(u_c)| &= \Pi\omega \\ |G_{\psi\psi}(u_c)| &= \frac{\Pi}{\omega}\end{aligned}\quad (10-2)$$

برای پیدا کردن شکل حرکت ریسمان از معادلات لاغرانژ اویلر استفاده می‌کنیم:

$$\begin{aligned}\frac{\partial L}{\partial \rho} - \frac{\partial}{\partial u} \frac{\partial L}{\partial \rho'} &= 0 \\ \frac{\partial L}{\partial \theta} - \frac{\partial}{\partial u} \frac{\partial L}{\partial \theta'} &= 0\end{aligned}\quad (11-2)$$

$$\text{که } \rho' = \frac{\partial \rho}{\partial u}, \theta' = \frac{\partial \theta}{\partial u} \text{ است.}$$

اگرچه در اینجا دو معادله حرکت وجود دارد اما همانطور که قبلاً اشاره شد لاغرانژی ما به  $\theta$  وابسته نیست و معادله‌ی دوم رابطه‌ی (۱۱-۲) ثابت حرکت خواهد بود. پس به منظور به دست آوردن شکل حرکت ریسمان از معادله‌ی اول رابطه‌ی (۱۱-۲) استفاده خواهیم کرد. با استفاده از روش‌های عددی می‌توانیم شکل کلی ریسمان چرخان را بدست آوریم. با در دست داشتن تکانه‌ی زاویه ای  $\varphi$  و ثابت حرکت  $\Pi$  می‌توان نقطه‌ی  $(u_c, \rho_c)$  را از معادلات (۹-۲) بدست آورد. اما این نقطه در حل مسئله ما را با مشکل مواجه می‌کند چرا که معادله‌ی حرکت و همچنین لاغرانژی در این نقطه تکینگی دارند. در حقیقت این مشکل فقط در یک نقطه ظاهر می‌شود و ما می‌توانیم از معادله‌ی حرکت و بسط آن (تا هر جمله‌ای که می‌خواهیم) استفاده کنیم.

### :AdS ۳-۲-ریسمان چرخان در زمینه

می‌دانیم دوگان کوارک ریسمان بازی است که نقطه‌ی انتهایی آن به یک شامه سه بعدی در مرز  $u=\infty$  متصل است. از آنجا که محیط مورد بررسی پلاسمای کوارک گلئون است پس در این محیط دما وجود دارد و ریسمان آویزان در فضای حجم به داخل سیاه چاله ختم می‌شود. پس ریسمان را تا افق سیاه چاله در نظر می‌گیریم. در نتیجه تا افق یعنی  $\tilde{u}=u_h$  را بررسی می‌کنیم.

هندسه‌ی فضای سیاهچاله به این شکل می‌باشد:

$$ds^2 = -f(\tilde{u})dt^2 + \frac{\tilde{u}^2}{R^2}(d\tilde{\rho}^2 + \tilde{\rho}^2 d\varphi^2 + dx_3^2) + \frac{d\tilde{u}^2}{f(\tilde{u})}, \quad (12-2)$$

$$f(\tilde{u}) \equiv \frac{\tilde{u}^2}{R^2} \left(1 - \frac{\tilde{u}_h^4}{\tilde{u}^4}\right)$$

که  $\tilde{u}$  مختصه‌ی حجم در فضای ۵ بعدی،  $\tilde{u}_h$  شعاع افق سیاهچاله و  $R$  شعاع انحنای فضای  $AdS$  است که در محاسبات ما  $R$  و  $\tilde{u}_h$  یک در نظر گرفته شده‌اند.

لازم به ذکر است که مختصات متريک (۱۲-۲) از تبدیل زير به دست آمده است:

$$(x_1, x_2) \rightarrow (\rho, \phi); dx_1^2 + dx_2^2 = d\rho^2 + \rho^2 d\phi^2, \quad (13-2)$$

می‌دانیم دمای پلاسمای کوارک گلوئون معادل دمای سیاهچاله‌ی  $AdS$  هاوکینگ در دوگان گرانشی است:

$$T \equiv \frac{\tilde{u}_h}{\pi R^2} \quad (14-2)$$

به منظور استفاده از توصیف دوگان گرانشی ابرتقارنی یانگ میلز و بیان انرژی اتلافی کوارک چرخان، باید در ابتدا جهان سطح ریسمان را در نقطه‌ی  $u = \infty$  پیدا کنیم و پس از آن به مسئله‌ی انرژی اتلافی بپردازیم. جهان سطح ریسمان چرخان را بدین صورت توصیف می‌کنیم:

$$x^\mu(\tau, \sigma) \equiv (t = \tau, \tilde{\rho} = \tilde{\rho}(\tilde{u}), \varphi = \omega\tau + \theta(\tilde{u}), x_3 = 0, \tilde{u} = \sigma) \quad (15-2)$$

که در اينجا نيز مانند قبل انديس‌های  $\nu, \mu = (t, \tilde{\rho}, \varphi, x_3, \tilde{u})$  داراي پنج بعد هستند. شرایط مرزی برای اين مسئله:

$$\begin{aligned} \rho(\infty) &= l \\ \theta(\infty) &= 0 \end{aligned} \quad (16-2)$$

می‌باشد. مطابق قبل برای پیدا کردن رفتار ریسمان از اصل کمینه کردن کنش استفاده می‌کنیم. کنش نامبو گوتو را از فرمول (۴-۲) داریم. برای توصیف ریسمان با متغیرهای بدون بعد می‌توان از تعريف زير استفاده کرد:

$$u \equiv \frac{\tilde{u}}{\tilde{u}_h}, \rho \equiv \frac{\tilde{u}_h}{R^2} \tilde{\rho} \quad (17-2)$$

همچنین برای توصیف حرکت کوارک با پارامترهای بدون بعد داریم:

$$\begin{aligned}\ell &\equiv \frac{\tilde{u}_h}{R^2} L = L\pi T; \\ w &\equiv \frac{R^2}{\tilde{u}_h} \omega = \frac{\omega}{\pi T}\end{aligned}\quad (18-2)$$

باید توجه کرد که  $v = L\omega = \ell w$  است و همچنین شتاب کوارک در  $u = \infty$  برابر است با :

$$a = wv = w^2 \ell = \frac{a}{\pi T} \quad (19-2)$$

متريک القايي به صورت زير مى باشد:

$$g_{\alpha\beta} = \begin{pmatrix} \dot{X}^2 & \dot{X} \cdot X' \\ \dot{X} \cdot X' & X'^2 \end{pmatrix} \quad (20-2)$$

كه  $\dot{X}^\mu, X'^\mu$  به ترتيب مشتق  $X^\mu(\tau, \sigma)$  نسبت به فضا و زمان است و به صورت زير محاسبه مى شود.

$$\dot{X}^\mu = \frac{\partial X^\mu}{\partial \tau} = (1, 0, \omega, 0, 0) \quad (21-2)$$

$$X'^\mu = \frac{\partial X^\mu}{\partial \sigma} = (0, \rho', \theta', 0, 1) \quad (22-2)$$

$$\dot{X}^2 = g_{\mu\nu} \dot{X}^\mu \dot{X}^\nu = -f(u) + \rho^2 u^2 \omega^2 \quad (23-2)$$

$$X'^2 = u^2 \rho'^2 + u^2 \rho^2 \theta'^2 + \frac{1}{f(u)} \quad (24-2)$$

$$\dot{X} \cdot X' = \rho^2 u^2 \omega \theta' \quad (25-2)$$

چگالي لاغرانژي در شكل كلی به صورت زير مى باشد:

$$L = \sqrt{(\dot{X} \cdot X')^2 - \dot{X}^2 X'^2} \quad (26-2)$$

که با اطلاعات داده شده به شکل زیر تبدیل می‌شود:

$$L = \sqrt{(u^4 - \rho^2 \omega^2 u^4 - 1)(\rho'^2 + \frac{1}{u^4 - 1}) + \rho^2 (u^4 - 1) \theta'^2} \quad (27-2)$$

و مانند قبل منظور از  $\rho'$  و  $\theta'$  عبارات زیر می‌باشد:

$$\rho' = \frac{\partial \rho}{\partial u}, \theta' = \frac{\partial \theta}{\partial u} \quad (28-2)$$

حال از معادلات حرکت لاغرانژ اویلر برای رسیدن به معادلات حرکت ریسمان استفاده می‌کنیم:

$$\begin{aligned} \partial_u \frac{\partial L}{\partial \rho'} - \frac{\partial L}{\partial \rho} &= 0, \\ \partial_u \frac{\partial L}{\partial \theta'} &= 0 \end{aligned} \quad (29-2)$$

این معادلات به ما  $(\rho(u))$  و  $(\theta(u))$  را می‌دهد. برای حل این معادلات ما باید در ابتدا بر روی وابستگی زاویه‌ای تمرکز کنیم. لاغرانژی وابسته  $(\theta'(u), \theta''(u))$  است و به  $(\theta(u))$  وابسته نیست. بنابر این مانند قبل، طبق رابطه‌ی دوم معادله‌ی (29-2) یک ثابت حرکت وجود دارد که به صورت زیر می‌باشد:

$$\Pi = \frac{-\partial L}{\partial \theta'} = \frac{\theta' \rho^2 (u^4 - 1)}{L} = cte \quad (30-2)$$

دو طرف رابطه‌ی (30-2) را به توان دو می‌رسانیم تا بتوانیم  $\theta'^2$  را بر حسب  $(\rho(u))$  به دست آوریم:

$$\begin{aligned} \Pi^2 &= \frac{(u^4 - 1)^2 \theta'^2 \rho^4}{(u^4 - \rho^2 \omega^2 u^4 - 1)(\rho'^2 + \frac{1}{u^4 - 1}) + \rho^2 (u^4 - 1) \theta'^2} \\ (u^4 - 1)^2 \theta'^2 \rho^4 &= \Pi^2 (u^4 - \rho^2 \omega^2 u^4 - 1)(\rho'^2 + \frac{1}{u^4 - 1}) + \Pi^2 \rho^2 (u^4 - 1) \theta'^2 \\ [(u^4 - 1)^2 \rho^4 - \Pi^2 \rho^2 (u^4 - 1)] \theta'^2 &= \Pi^2 (u^4 - \rho^2 \omega^2 u^4 - 1)(\rho'^2 + \frac{1}{u^4 - 1}) \\ \theta'^2 &= \frac{\Pi^2 (u^4 - \rho^2 \omega^2 u^4 - 1)(\rho'^2 + \frac{1}{u^4 - 1})}{[(u^4 - 1)^2 \rho^4 - \Pi^2 \rho^2 (u^4 - 1)]} \Rightarrow \theta'^2 = \frac{\Pi^2 (\rho'^2 + \frac{1}{u^4 - 1})(u^4 - 1 - u^4 \rho^2 \omega^2)}{(u^4 - 1) \rho^2 ((u^4 - 1) \rho^2 - \Pi^2)} \end{aligned} \quad (31-2)$$

اکنون با توجه به رابطه‌ی اول معادله‌ی (۲۹-۲) به معادله حرکت می‌رسیم که جزئیات آن با استفاده از نرم افزار متمتیکا به دست آمده است.

$$\begin{aligned}
 & (-4u^3\rho'(-2+2\omega^2\rho^2+u\omega^2\rho\rho')((-1+u^4-u^4\omega^2\rho^2)(\frac{1}{u^4-1}+\rho'^2)+(u^4-1)\rho^2\theta'^2)) \\
 & -2\rho(-u^4\omega^2(\frac{1}{u^4-1}+\rho'^2)+(u^4-1)\theta'^2)((u^4-1-u^4\omega^2\rho^2)(\frac{1}{u^4-1}+\rho'^2) \\
 & +(u^4-1)\theta'^2\rho^2)+2(u^4-1-u^4\omega^2\rho^2)((u^4-1-u^4\omega^2\rho^2)(\frac{1}{u^4-1}+\rho'^2) \\
 & +(u^4-1)\theta'^2\rho^2)\rho''-(u^4-1-u^4\omega^2\rho^2)\rho'(-2u^3(-2+2\omega^2\rho^2+u\omega^2\rho\rho')) \\
 & (\frac{1}{u^4-1}+\rho'^2)+4u^3\rho^2\theta'^2+2(u^4-1)\rho\rho'\theta'^2+(u^4-1-u^4\omega^2\rho^2)(\frac{-4u^3}{(u^4-1)^2}+2\rho'\rho'') \\
 & +2(u^4-1)\rho^2\theta'\theta'')=0
 \end{aligned} \tag{۳۲-۲}$$

حال اگر رابطه‌ی (۳۱-۲) را در رابطه‌ی بالا قرار دهیم پس از کمی ساده‌سازی معادله دیفرانسیل زیر به دست می‌آید:

$$\rho'' + \frac{2u^3\rho\rho'-1}{\rho^2(u^4-1)-\Pi^2} \rho(\rho'^2(u^4-1)+1) + \frac{2u^3\rho\rho'(1-\rho^2\omega^2-\rho^2\rho'^2\omega^2)+\rho'^2(u^4-1)+1}{(1-\rho^2\omega^2)\rho u^4-\rho} = 0 \tag{۳۳-۲}$$

حال با حل این معادله،  $(u)\rho$  را که بیانگر موقعیت حرکت ریسمان است بدست می‌آوریم. از آنجا که حل این معادله به روش دستی انجام نمی‌پذیرد آن را به صورت عددی حل می‌کنیم. برای این کار باید ابتدا  $\rho'$  را به دست آوریم. پیش از تکمیل کردن فرایند حل معادله دیفرانسیل لازم است برخی خواص کلی راه حلی که به دنبال آن هستیم را بیان کنیم. برای کوارک چرخان در مرز، صورت معادله‌ی (۳۱-۲) مثبت است چرا که  $v = \ell\omega < 1$  است.

برای هر  $u$  مثبت در فضای حجم یک نیروی جانب مرکز به ریسمان وارد می‌شود. همچنین می‌توان گفت برای هر  $\rho(u), l < u < \infty$  است و ریسمان هم به افق سیاه چاله  $u = 1$  ختم می‌شود. وقتی ریسمان به  $u = 1$  می‌رسد عبارت  $(u^4 - \rho^2\omega^2u^4 - 1)$  در صورت معادله‌ی (۳۱-۲) تغییر علامت می‌دهد و منفی می‌شود.

تغییر علامت صورت در نقطه‌ی  $(u_c, \rho_c)$  به رسیدن به جواب زیر منجر می‌شود:

$$\begin{aligned} u_c^4 - \rho_c^2 \omega^2 u_c^4 - 1 &= 0 \\ \Rightarrow \rho_{light}(u, \omega) &= \frac{1}{\omega} \sqrt{1 - \frac{1}{u^4}} \quad (34-2) \\ v_c = \rho_c \omega \Rightarrow u_c &= \left( \frac{1}{1 - v_c^2} \right)^{\frac{1}{4}} \end{aligned}$$

از آنجا که معادله‌ی حرکت در نقطه‌ای به نام  $u_c$  تکنیگی دارد پس باید جواب را در اطراف این نقطه بررسی کنیم. با توجه به معادلات (۹-۲) داریم:

$$\begin{aligned} \Pi^2 - f(u)u^2\rho^2 &= 0 \Rightarrow f(u) = \frac{\Pi^2}{u^2\rho^2}, \\ -f(u) + \omega^2 u^2 \rho^2 &= 0, \\ f(u) \equiv u^2 \left(1 - \frac{1}{u^4}\right), \quad \left. \begin{array}{l} \Rightarrow \Pi^2 = f(u)u^2\rho^2 = (u^4 - 1)\rho^2 \Rightarrow \rho^2 = \frac{\Pi^2}{(u^4 - 1)}; \\ \Rightarrow \frac{\Pi^2}{u^2 \frac{\Pi^2}{(u^4 - 1)}} + \omega^2 u^2 \frac{\Pi^2}{(u^4 - 1)} = 0, \Rightarrow (u^4 - 1)^2 + \omega^2 u^4 \Pi^2 = 0 \end{array} \right\} \quad (35-2) \end{aligned}$$

حال مختصات نقطه‌ی  $(u_c, \rho_c)$  بدین صورت بدست می‌آید:

$$\begin{aligned} u_c &= \sqrt{\frac{\Pi\omega}{2} + \frac{1}{2}\sqrt{4u_h^4 + \Pi^2\omega^2}} \\ \rho_c &= \frac{1}{\omega} \sqrt{\frac{2\Pi\omega}{\Pi\omega + \sqrt{4u_h^4 + \Pi^2\omega^2}}} \quad (36-2) \end{aligned}$$

می‌دانیم رابطه‌ی (۳۶-۲) برای مرز  $u = \infty$  بدست آمده است. این رابطه هنگامی که می‌خواهیم معادله‌ی دیفرانسیل را به صورت عددی حل کنیم مورد استفاده قرار می‌گیرد. اگر فقط رابطه (۳۶-۲) را داشته باشیم و بخواهیم  $\rho'$  را طبق روشی که در زیر بیان می‌شود به دست بیاوریم به یک معادله‌ی درجه چهار می‌رسیم که چهار ریشه بسیار بزرگ دارد و حدس زدن جواب بسیار مشکل است. اما

مطابق آنچه در ادامه گفته خواهد شد با استفاده از بسط و رابطه (۳۴-۲) می‌توانیم به شیوه‌ای آسان تر

$\rho'_c$  را به دست بیاوریم.

می‌توانیم  $\rho(u)$  را در نقطه‌ی  $u_c$  بسط تیلور دهیم و مشتقات پی در پی آن را در معادله دیفرانسیل قرار دهیم. نقطه‌ی  $(u_c, \rho_c)$  برای ریسمان متصل به کوارک در حال حرکت در مسیر مستقیم مانند حالتی که برای ریسمان متصل به کوارک چرخان در نظر می‌گیریم بدست می‌آید.

بسط تیلور به این صورت خواهد بود:

$$\begin{aligned}\rho(u) &= \rho_c + \rho'_c(u - u_c) + \frac{1}{2} \rho''_c(u - u_c)^2 + \dots \\ \rho'(u) &= \rho'_c + \rho''_c(u - u_c) + \dots \\ \rho''(u) &= \rho''_c + \dots\end{aligned}\tag{۳۷-۲}$$

سپس ضریب  $(u - u_c)$  را مساوی صفر قرار می‌دهیم. زیرا باید تک تک ضرایب مساوی صفر باشند. آنگاه به یک معادله‌ی درجه دو بر حسب  $\rho'_c$  می‌رسیم؛ که جزئیات آن توسط نرم افزار متمتیکا محاسبه شده است. معادله‌ی مربوطه به شکل زیر خواهد بود:

$$v_c \omega^2 + \frac{4\sqrt{1-v_c^2} + \omega^2}{(1-v_c^2)^{\frac{1}{4}}} \rho'(u_c) - \frac{v_c^3 \omega}{1-v_c^2} \rho'(u_c)^2 = 0\tag{۳۸-۲}$$

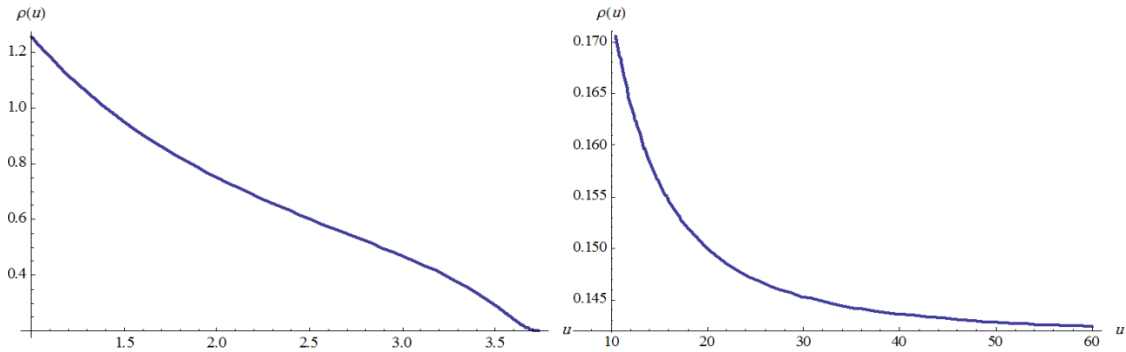
که  $v_c = \rho_c \omega$  می‌باشد. با حل این معادله  $\rho'_c$  بدست می‌آید که ریشه منفی آن جواب مسئله است. چرا که مرز در  $u=\infty$  است و برای  $\rho'_c$  داریم:  $\rho' = \frac{\Delta \rho}{\Delta u}$ . پس با حرکت از  $u_c$  به سمت مرز

خواهد شد و  $\rho'_c$  منفی می‌شود. در نتیجه  $\rho'_c$  به صورت زیر به دست می‌آید:

$$\rho'_c = \frac{(1-v_c^2)(4\sqrt{1-v_c^2} + \omega^2) - \sqrt{4v_c^4(1-v_c^2)^{\frac{3}{2}}\omega^2 + (1-v_c^2)^2(4\sqrt{1-v_c^2} + \omega^2)^2}}{2v_c^3(1-v_c^2)^{\frac{1}{4}}\omega}\tag{۳۹-۲}$$

حال با داشتن مقادیر  $\omega$ ,  $\Pi$ ,  $\rho_c$  و  $u_c$  بدهست آورد و سپس معادله دیفرانسیل مربوطه را برای نقطه  $u_c$  حل کرد. جزئیات حل این معادله نیز توسط نرم افزار متمتیکا انجام شده است. نکته‌ای که وجود دارد این است که از مرز تا نقطه  $u_c$  یعنی بخش بالایی  $u > u_c$  به ازای هر پارامتر ریسمان، سرعت ریسمان کمتر از سرعت نور است. از نقطه  $u_c$  تا افق سیاه چاله، یعنی بخش پایینی  $u < u_c$  سرعت ریسمان بیشتر از سرعت نور می‌باشد و این مفهوم فیزیکی ندارد. پس نوسانات کوچک ریسمان در بخش بالایی و پایینی کاملاً از هم مجزا است.

بخش پایینی ریسمان از نقطه انتهایی روی شامه‌های سه بعدی در مرز منفصل است[10,15]. این بخش برای ریسمان نشان دهنده ابر گلوئونی است. در حالی که بخش بالایی از جهان سطح نشانگر میدان رنگی<sup>۲۱</sup> است که توسطتابع موج حمل می‌شود. در نتیجه باید از مرز تا نقطه  $u_c$  را مورد بررسی قرار دهیم. نمودار  $\rho(u)$  بر حسب  $u$  به ازای  $\omega = 5$  و  $\Pi = 10$  برای بخش بالایی و پایینی ریسمان به صورت شکل (۳-۲) و (۴-۲) می‌باشد.



شکل(۴-۲) : بخش پایینی ریسمان

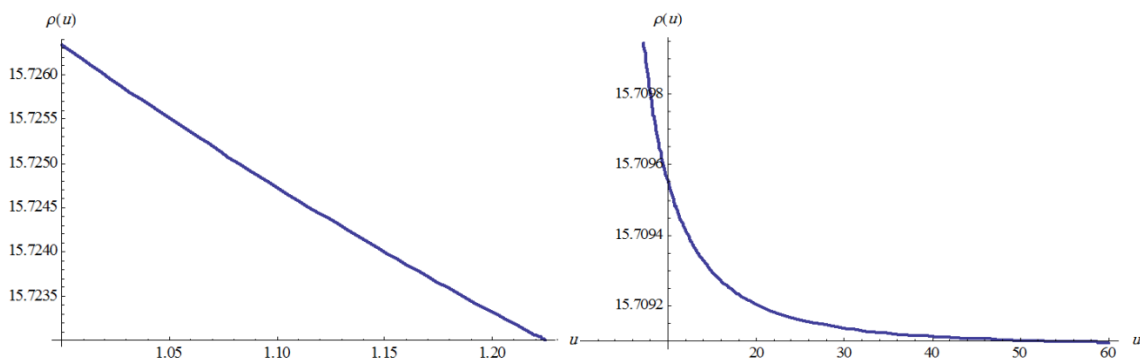
شکل(۳-۲) : بخش بالایی ریسمان

در این شکل  $(u)$  شعاع دوران ریسمان و  $u$  بعد فضای هولوگرام است. همانطور که از شکل (۳-۲) مشخص است مرز در بینهایت در نظر گرفته شده است که این بینهایت در رسم عددی این نمودار به اختیار ۶۰ فرض شده است. از نمودار رسم شده مشخص است با حرکت به سمت مرز شعاع دوران

<sup>21</sup>Color field

ریسمان به طور نمایی کاهش می‌یابد. در شکل (۴-۲) اگرچه با افزایش  $u$  شعاع دوران ریسمان کاهش می‌یابد اما این نمودار خوش تعریف نیست و دارای یک نقطه‌ی عطف می‌باشد.

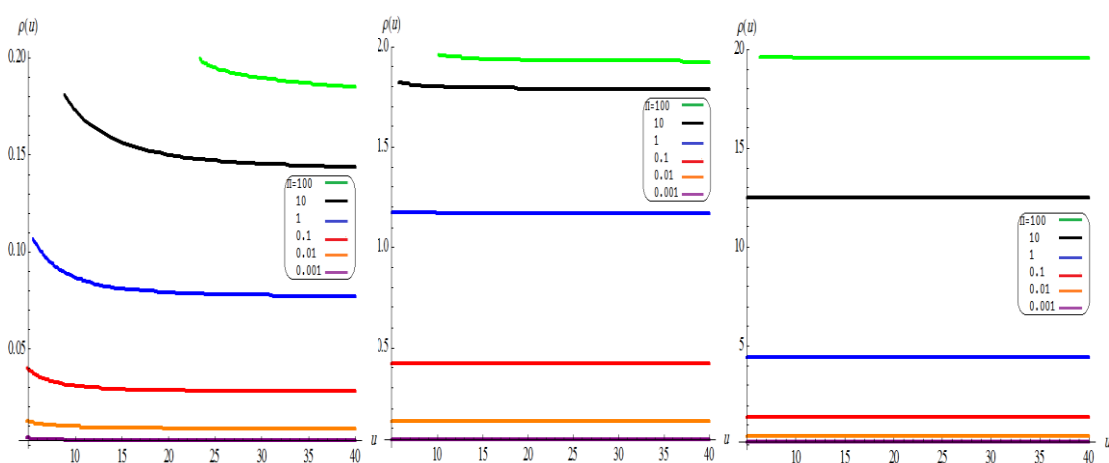
نمودار  $\rho(u)$  بر حسب  $u$  نیز به ازای  $\omega = 0.05$  و  $\Pi = 20$  به صورت زیر می‌باشد.



شکل (۶-۲) : بخش پایینی ریسمان

شکل (۵-۲) : بخش بالایی ریسمان

مشابه آنچه در شکل (۳-۲) دیدیم در شکل (۵-۲) با حرکت به سمت مرز، شعاع چرخش ریسمان به صورت نمایی کاهش می‌یابد. این در حالی است که در شکل (۶-۲) که مربوط به بخش غیر فیزیکی ریسمان چرخان است تغییرات شعاع دوران در  $u$ ‌های مختلف به صورت خطی خواهد بود که این تغییرات توصیف مناسبی برای شکل مارپیچی ریسمان نمی‌دهد. در شکل زیرنشان می‌دهیم که برای هر مقدار متفاوت  $\omega$  و  $\Pi$  شعاع‌های متفاوتی خواهیم داشت.



شکل (۷-۲) : تغییرات  $\rho(u)$  نسبت به  $u$  برای  $\omega$  و  $\Pi$ ‌های مختلف. از راست به چپ:  $\omega = 0.05$  و  $\omega = 0.5$  و  $\omega = 5$  و از بالا به پایین  $\Pi = 100, 10, 1, 0.1, 0.01, 0.001$

در شکل (۲-۷) با تغییر  $\omega$  در سه مقدار  $\omega = 0.05, 0.5, 5$  مشخص می‌شود که با افزایش  $\Pi$ ، در  $u$  ثابت، شعاع دوران ریسمان افزایش می‌یابد. از روی نمودارهای موجود می‌توان دریافت که هرچه از نقطه‌ی  $u$  به سمت مرز پیش رویم شعاع ریسمان کم می‌شود. همچنین کوچک(بزرگ) شدن مقادیری از  $\Pi$  متناظر با کوچک(بزرگ) شدن مقادیری از  $l$  است که شعاع دایره‌ای است که کوارک روی آن در مرز حرکت می‌کند.

از نقطه نظر کوارک چرخانی که روی مرز  $u = \infty$  حرکت می‌کند تنها  $\omega$  و  $\ell$  در تعیین ساختار حرکت مؤثر هستند. در حالی که ساختار ریسمان چرخان با  $\Pi$  و  $\omega$  بدست می‌آید. این نشان می‌دهد که یک ارتباط یک به یک بین  $\Pi$  و  $\ell$  وجود دارد. می‌دانیم سرعت کوارک چرخان در مرز نباید از سرعت نور بیشتر باشد. این محدودیت، به این مفهوم منجر می‌شود که شعاع  $l$  باید به گونه‌ای تغییر کند که:  $\frac{1}{w} < l < \rho$ . برای  $\Pi$  های خیلی کوچک  $l \approx \rho$  است که (۱) شعاع در افق ماست و خمش بسیار کم است. اما برای  $\Pi$  های خیلی بزرگ  $l > \rho$  می‌باشد.

از طرفی می‌دانیم که در عمق فضای حجم سرعت ریسمان بیشتر از سرعت نور است. در این ناحیه از فضا جهان سطح ریسمان خم می‌شود و با افزایش ( $u$ ) $\rho$  ریسمان تا افق کشیده می‌شود. این خمش به علت این است که نیروی جانب به مرکزی به ریسمان وارد می‌شود و در آنجا شتاب  $a = \rho\omega^2$  بیشتری وجود دارد. افزایش خمش یا افزایش شتاب را می‌توان با افزایش سرعت زاویه‌ای  $\omega$  توصیف کرد. مثلاً اگر  $\omega = 5$  در نظر بگیریم درمی‌یابیم که خمش برای هر  $\Pi$  غیر صفری وجود دارد. همچنین برای  $w > 1$  هیچ یک از مقادیر  $\Pi$ ،  $l \approx \rho$  وجود ندارد.

## ۴-۲- ریسمان چرخان در خلاء نسبیتی:

تا کنون معادلات حرکت ریسمان را در فضایی با دمای  $T \neq 0$  بررسی کردیم. در این بخش می‌خواهیم معادلات مربوط به کوارک چرخان را در دمای  $T = 0$  به دست آوریم، یعنی در خلاء، لاغرانژی در این فضا به صورت زیر خواهد بود:

$$L = \sqrt{(1 - \rho^2 w^2)(u^4 \rho'^2 + 1) + u^4 \rho^2 \theta'^2} \quad (40-2)$$

به شیوه‌ی قبل برای بررسی رفتار ریسمان از معادلات حرکت لاغرانژ اویلر استفاده می‌کنیم:

$$\begin{aligned} \frac{\partial L}{\partial \rho} - \frac{\partial}{\partial u} \frac{\partial L}{\partial \rho'} &= 0 \\ \frac{\partial L}{\partial \theta} - \frac{\partial}{\partial u} \frac{\partial L}{\partial \theta'} &= 0 \end{aligned} \quad (41-2)$$

حال از رابطه‌ی بالا ثابت حرکت برابر است با:

$$\Pi = \frac{-\partial L}{\partial \theta'} = -\frac{u^4 \theta' \rho^2}{L} \quad (42-2)$$

که متغیرهای بدون بعد  $\rho$ ،  $u$  و  $w$  به همتای بدون بعدشان  $R$ ،  $\tilde{u}/R$  و  $\tilde{\rho}/R$  که در فرمولهای (۱۷-۲) و (۱۸-۲) بیان شده‌اند وابسته می‌باشند. اکنون مانند قبل باید  $\theta'^2$  را بر حسب  $(u)\rho$  بدست آوریم. برای این کار باید دو طرف رابطه‌ی (۴۲-۲) را به توان دو برسانیم و خواهیم داشت:

$$\begin{aligned} \Pi^2 &= \frac{\theta'^2 \rho^4 u^8}{(1 - w^2 \rho^2)(1 + u^4 \rho'^2) + u^4 \rho^2 \theta'^2} \\ \Pi^2 (1 - w^2 \rho^2)(1 + u^4 \rho'^2) + u^4 \rho^2 \theta'^2 &= \theta'^2 \rho^4 u^8 \\ \rho^2 \theta'^2 u^4 (\Pi^2 - u^4 \rho^2) &= -\Pi^2 (1 - w^2 \rho^2)(1 + u^4 \rho'^2) \\ \Rightarrow \theta'^2 &= \frac{\Pi^2 (1 - w^2 \rho^2)(1 + u^4 \rho'^2)}{\rho^2 u^4 (\rho^2 u^4 - \Pi^2)} \end{aligned} \quad (43-2)$$

معادلهی حرکت کوارک در این فضا به این صورت خواهد بود:

$$\begin{aligned} & (\rho(u^4\rho^2\theta'^2 + (1-w^2\rho^2)(1+u^4\rho'^2))(w^2+u^4(-\theta'^2+w^2\rho'^2)) + \\ & u^3(-u\rho(w^2-w^4\rho^2+u^4(1+w^2\rho^2)\theta'^2)\rho'^2 + 2u^4(-1+w^2\rho^2)^2\rho'^3 + \\ & u^5w^2\rho(-1+w^2\rho^2)\rho'^4 + (-1+w^2\rho^2)\rho'(-4+\rho^2(4w^2+u^4\theta'(-2\theta'+u\theta'')))) + \\ & u(-1+w^2\rho^2)(-1+\rho^2(w^2-u^4\theta'^2))\rho'') / (u^4\rho^2\theta'^2 + (1-w^2\rho^2)(1+u^4\rho'^2))^{3/2} = 0 \end{aligned} \quad (44-2)$$

مانند قبل با قرار دادن  $\theta'$  در معادلهی فوق و ساده سازی، به فرمول زیر خواهیم رسید:

$$\rho'' + \frac{2\rho'}{u} + \rho(1+\rho'^2u^4) \left( \frac{2u^3\rho\rho'-1}{u^4\rho^2-\Pi^2} + \frac{1}{u^4\rho^2(1-w^2\rho^2)} \right) = 0 \quad (45-2)$$

اکنون با روش زیر به حل این معادله دیفرانسیل می پردازیم:

خرج معادله دیفرانسیل در نقطهی  $u_c$  تکینگی دارد. همانطور که پیشتر گفتیم برای رفع این تکینگی می توان مانند قبل از فرمول (37-2) استفاده کرده و  $(u)\rho$  را در نقطهی  $u_c$  بسط تیلور داد. سپس مشتقات پی در پی آن را در معادله دیفرانسیل قرار می دهیم و ضرایب  $(u-u_c)$  و  $(u-u_c)^2$  را مساوی صفر قرار دهیم تا  $\rho'_c$  بر حسب  $(\Pi, w)$  بدست آید. جوابی از این معادله که قابل قبول می باشد به صورت زیر است:

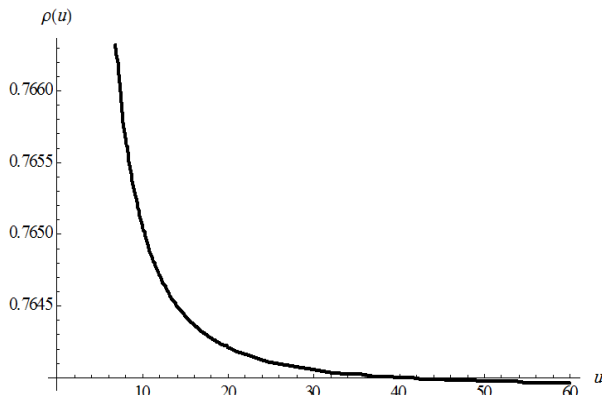
$$\rho'_c = \frac{\sqrt{\Pi w} - \sqrt{\Pi}\sqrt{4\Pi + w}}{2\Pi^2 w} \quad (46-2)$$

از طرفی برای  $u_c$  و  $\rho_c$  داریم:

$$\begin{aligned} \rho_c^{vacuum} &= \frac{1}{w} \\ u_c^{vacuum} &= \sqrt{\Pi w} \end{aligned} \quad (47-2)$$

حال با داشتن  $\rho_c^{vacuum}$ ،  $u_c^{vacuum}$  و  $\rho'_c$  معادلهی مربوطه را حل می کنیم. با انتخاب  $\Pi w$  های بزرگ راه حل بدست آوردن  $(u)\rho$  از معادلهی (45-2) برای  $u > u_c^{vacuum}$  بسیار شبیه به حلی است که در

مسئله‌ی قبل برای  $u_c > u$  داشتیم. این در حالی است که جهان سطح در خلاء با پلاسما متفاوت خواهد بود. نمودار  $\rho(u)$  بر حسب  $u$  به شکل زیر است.



شکل (۸-۲) : تغییرات  $\rho(u)$  نسبت به  $u$  برای  $w = 0.5$  و  $\Pi = 0.1$ .

مطابق نتایج گرفته شده از نمودارهای قبل، در شکل (۸-۲) نشان داده می‌شود که مرز در بینهایت فرض شده است که به اختیار بینهایت را  $60$  در نظر گرفته‌ایم و با حرکت از  $u_c$  به سمت مرز شعاع چرخش ریسمان کم می‌شود.

## ۴-۵-۲- اتلاف انرژی کوارک چرخان:

در این بخش مسئله‌ی اتلاف انرژی کوارک چرخان را مورد بررسی قرار می‌دهیم. با این بررسی می‌توانیم در حد سرعت‌های زاویه‌ای بالا و پایین به تفسیر مناسبی از اتلاف انرژی دست یابیم. فرمول انرژی اتلافی بر حسب تکانه جهان سطح به صورت زیر می‌باشد:

$$\frac{dE}{dt} = \Pi_t^\sigma = -\frac{\delta S}{\delta(\partial_\sigma X^0)}, \quad (48-2)$$

که از مرجع [8] داریم:

$$\Pi_\mu^\sigma \equiv \frac{1}{2\pi\alpha'} \frac{\partial L}{\partial(\partial_\sigma x^\mu)} = -G_{\mu\nu} \frac{[(\partial_u x^\nu)(\partial_\tau x^\nu)]\partial_\tau x^\nu - [(\partial_\tau x^\nu)(\partial_\tau x^\nu)]\partial_u x^\nu}{2\pi\alpha' \sqrt{-\det g_{ab}}} \quad (49-2)$$

و شار انرژی یا تکانه‌ی ریسمان را به ما می‌دهد.

با استفاده از معادله‌های (۶-۲) و (۷-۲) و (۱۰-۲) می‌توان نشان داد که برای اتلاف انرژی خواهیم

داشت:

$$\frac{dE}{dt} = -\frac{G_{tt}G_{\psi\psi}\omega\theta'}{2\pi\alpha'L} = \frac{\Pi\omega}{2\pi\alpha'} = \frac{|G_{tt}(u_c)|}{2\pi\alpha'} \quad (50-2)$$

در مرجع [13] نشان داده شده است که فرمول عمومی برای انرژی از دست رفته‌ی ریسمان در حال حرکت در مسیر مستقیم شبیه معادله‌ی قبل خواهد بود و تفاوت‌ها ناشی از اختلاف در نقطه‌ی  $u_c$  خواهد بود. از آنجا که میزان اتلاف انرژی یک کوارک در حال حرکت از روی سطح ریسمان مشخص می‌شود برای ریسمان چرخان شکل ساده‌تری از فرمول اتلاف انرژی وجود دارد.

$$\frac{dE}{dt} = \frac{\pi}{2} \sqrt{\lambda T^2 w} \Pi \quad (51-2)$$

اکنون می‌خواهیم ساختاری را برای انرژی از دست رفته بیابیم که بر حسب موقعیت نقطه‌ی  $(u_c, \rho_c)$  بیان شود. با حل معادله‌ی (۳۵-۲) بر حسب  $\Pi w$  معادله‌ی زیر بدست می‌آید:

$$\frac{dE}{dt} = \frac{\pi}{2} \sqrt{\lambda T^2} \frac{v_c^2}{\sqrt{1-v_c^2}} \quad (52-2)$$

که  $v_c \equiv w$  است و معرف سرعت ریسمان در نقطه‌ای است که برابر سرعت نور می‌باشد. ما می‌توانیم این معادله را با نتایجی که از کوارک در حال حرکت در مسیر مستقیم می‌گیریم مقایسه کنیم:

$$\frac{dE}{dt} \Big|_{linear-drag} = \frac{\pi}{2} \sqrt{\lambda T^2} \frac{v^2}{\sqrt{1-v^2}} \quad (53-2)$$

## ۶-۲- انرژی از دست رفته در دو حد متفاوت:

(الف) حالتی که سرعت ثابت باشد و شتاب به سمت صفر میل کنند:

با افزایش  $l$  و کاهش  $w$  در حالی  $v$  ثابت نگه داشته شده است می‌توان به این حد رسید. از آنجایی که شتاب در این حد به سمت صفر میل می‌کند ما انتظار داریم وقتی شتاب به صفر میل می‌کند و سرعت ثابت است برای کوارک چرخان  $dE/dt$  از فرمول (۵۲-۲) بدست بباید و داشته باشیم:

$$\Pi w \rightarrow \Pi w_{linear-drag} \equiv \frac{v^2}{\sqrt{1-v^2}} \quad (54-2)$$

پس در این حد باید نتایج اتلاف انرژی کوارک چرخان، با نتایج اتلاف انرژی کوارک متحرک در مسیر مستقیم و با سرعت ثابت، یکی شود. در نتیجه در این حد، دایره تبدیل به خط راست می‌شود ( $l$  بسیار بزرگ و سرعت زاویه ای بسیار کوچک). اکنون می‌توان گفت که در این حد انرژی تلف شده ناشی از نیروی مقاومت است و با قرار دادن  $v$  به جای  $c$  در (۵۳-۲) به رابطه بالا خواهیم رسید. از نتایج معادله (۵۳-۲) می‌توان فهمید که تقریب زدن حرکت دایره‌ای به حرکت خطی می‌تواند مستقیماً به شکل منحنی ( $u$ ) ریسمان وابسته باشد.

(ب) حالتی که سرعت ثابت باشد و شتاب به سمت بی‌نهایت میل کنند:

این حد با کاهش  $l$  و افزایش  $w$  در حالی که  $v$  ثابت نگه داشته شده است بدست می‌آید. با داشتن  $l \rightarrow 0$  می‌توان گفت در این حد ریسمان مارپیچی خواهیم داشت در نتیجه انرژی تلف شده‌ی آن ناشی از تابش گلوئونی می‌باشد. آنچه ما انتظار داریم این است که با انتخاب این حالت تأثیر شتاب بر روابط به نسبت تأثیرات دیگر غالب باشد. در حد بیان شده مشخص می‌شود که شکل ریسمان مارپیچ در  $u_c > u$  شبیه به شکل آن در خلاء برای  $T \neq 0$  می‌باشد. این به این معنی است که ما انتظار داریم در این حد، رفتار  $dE/dt$  برای کوارک متحرک در پلاسمما با رفتار انرژی اتلافی آن وقتی در خلاء در

حال چرخیدن است یکسان باشد. در مرجع [10] میخایلوف یک فرمول کلی برای انرژی از دست رفته‌ی کوارک شتاب‌دار در نظریه‌ی ابر تقارنی یانگ میلز در  $T=0$  پیدا کرده است؛ یعنی در خلاء. که این اتلاف انرژی ناشی از تابش سینکروترونی می‌باشد:

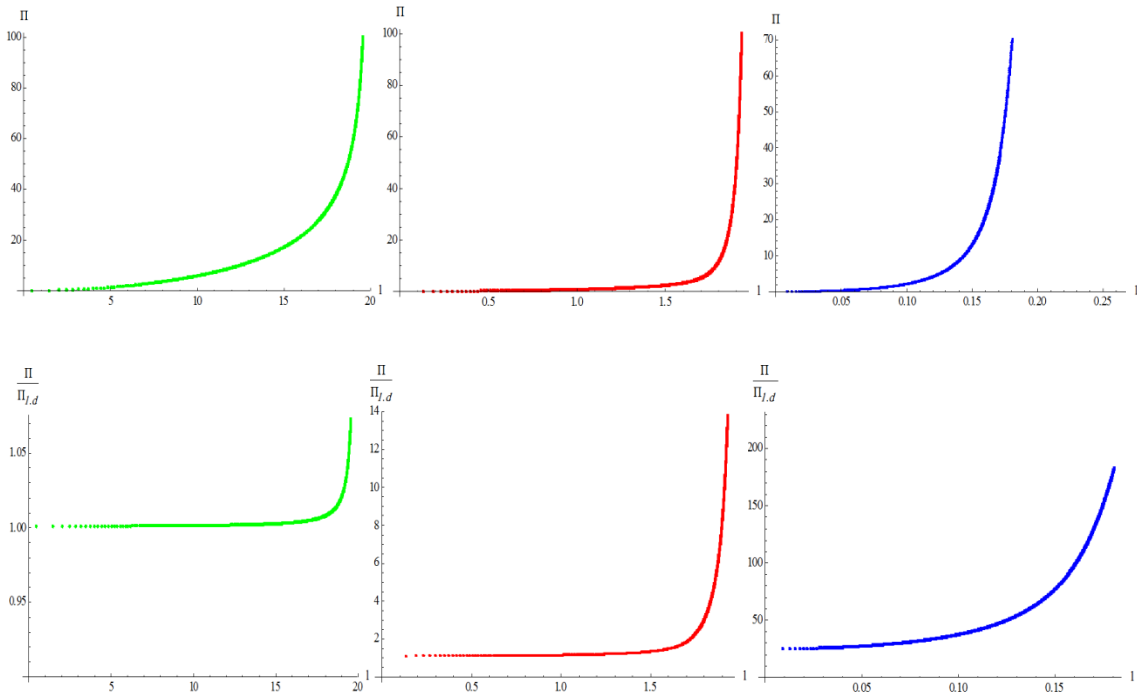
$$\frac{dE}{dt} \Big|_{vacuum-radiation} = \frac{\sqrt{\lambda}}{2\pi} \frac{\vec{a}^2 - (\vec{a} \times \vec{v})^2}{(1-v^2)^3} \quad (55-2)$$

چنانچه به جای  $2e^2/3\sqrt{\lambda}/2\pi$  مقدار  $2e^2/3$  را بگذاریم این نتایج با نتایج لئنارد برای تابش الکترومغناطیس برابر می‌شود.

بنابر این اگر شتاب به سمت بی‌نهایت میل کند، در سرعت ثابت حد انرژی اتلافی برای کوارک چرخان معادل حد انرژی اتلافی ناشی از تابش در خلاء می‌باشد. با استفاده از فرمول (55-2) می‌توان آن را به این شکل نوشت:

$$\Pi w \rightarrow \Pi w \Big|_{vacuum-radiation} \equiv \frac{a^2}{(1-v^2)^2} = \frac{v^2 w^2}{(1-v^2)^2} \quad (56-2)$$

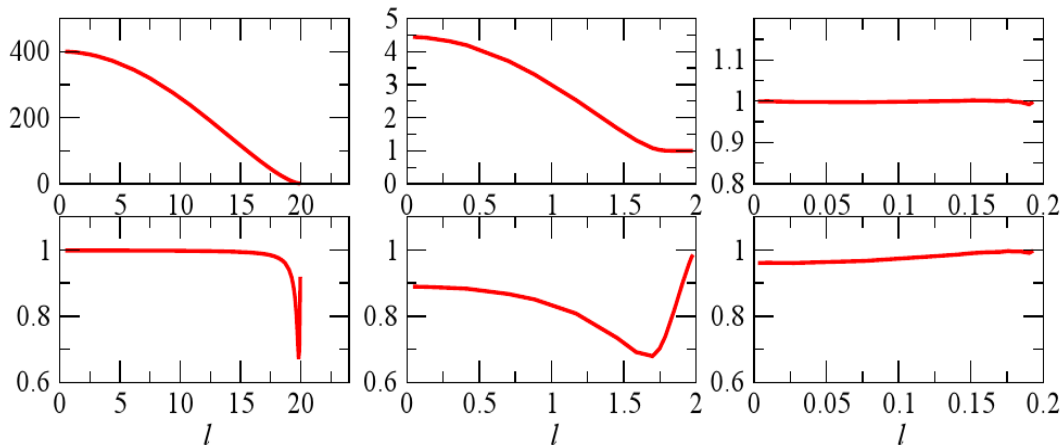
در شکل (۹-۲) انرژی اتلافی کوارک چرخان برحسب شعاع دوران کوارک در مرز و نسبت انرژی از دست رفته‌ی کوارک چرخان به انرژی اتلافی در حرکت خطی برای سه  $w$  با مقادیر متفاوت  $w = 0.05, 0.5, 5$  نشان داده شده است.



شکل (۹-۲) : انرژی از دست رفتهی حالت کل و نیروی مقاوم برای  $\omega$  های مختلف. به ترتیب از چپ به راست:  
سطر اول : نمودار  $\Pi$  بر حسب  $\omega$ . سطر دوم:  $\Pi/\Pi_{l,d}$  با فرمول (۵۴.۲) مشخص می شود.

در سطر اول شکل (۹-۲) مشخص می شود که در هر  $\omega$  دلخواهی با افزایش ثابت حرکت  $\Pi$  انرژی اتلافی نیز افزایش می یابد. نمودارهای رسم شده بر این موضوع تأکید می کنند که بیشترین سرعت کوارک در حد سرعت نور می تواند باشد و نمودار در این حد مجانب قائم دارد که در آن میزان انرژی اتلافی به بینهایت میل می کند.

در تحلیل سطر دوم شکل (۹-۲) می توان گفت که در سرعتهای پایین نسبت انرژی اتلافی کل به انرژی اتلافی نیروی مقاوم یک می شود. این یعنی بیشترین سهم اتلاف انرژی ناشی از حضور نیروی مقاوم است به طوری که می توان از سهم اتلاف انرژی تابشی صرف نظر کرد. در این صورت می توانیم رفتار کوارک چرخان با سرعت پایین را با رفتار کوارکی که در مسیر مستقیم در حال حرکت است تقریب بزنیم. در مرجع [۱] نیز نمودار مربوط به نسبت انرژی اتلافی کل به انرژی اتلافی ناشی از تابش رسم شده است. همچنین نسبت انرژی اتلافی کل به مجموع اتلاف انرژی تابشی و نیروی مقاوم بر حسب شعاع دوران کوارک رسم شده است که در شکل (۱۰-۲) نشان داده شده است.



شکل(۱۰-۲) : انرژی از دست رفته‌ی  $dE/dt$  برای  $\omega$ ‌های مختلف. به ترتیب از چپ به راست:  $\omega = 0.05, 0.5, 5$ .

سطر اول : نمودار  $\Pi/\Pi_{v,r}$  بر حسب  $l$ ؛ که از فرمول (۵۸-۲) به دست می‌آید . سطر دوم:  $\Pi/\Pi_{(l,d+v,r)}$  می‌باشد.

سطر اول شکل فوق نشان می‌دهد که با افزایش  $\omega$  نسبت انرژی اتلافی کل به اتلاف ناشی از تابش یک می‌شود. به این معنی که اثر نیروی مقاوم بر کوارک چرخان در سرعت‌های زاویه‌ای بالا کم می‌شود؛ به طوری که می‌توان اتلاف انرژی را ناشی از تابش توصیف کرد. نمودارهای سطر دوم شکل (۱۰-۲) بیانگر این هستند که نسبت انرژی اتلافی کل به مجموع انرژی اتلافی تابشی و نیروی مقاوم در هر  $\omega$  دلخواه و برای هر شعاع دوران، کمتر از یک خواهد بود؛ که این ناشی از تداخل ویرانگر بین تابش و نیروی مقاوم می‌باشد.

با استفاده از اطلاعات نمودارهای شکل (۹-۲) و (۱۰-۲) می‌توان به این نتیجه رسید که در سرعت‌های زاویه‌ای بالا سهم غالب اتلاف انرژی مربوط به تابش می‌باشد در حالی که در سرعت‌های زاویه‌ای پایین اتلاف انرژی ناشی از نیروی مقاوم است.

## فصل سوم

### بررسی اتلاف انرژی کوارک چرخان در فضا زمان

#### غیرنسبیتی

مقدمه 

بررسی رفتار ریسمان در خلاء غیرنسبیتی 

انرژی از دست رفته در خلاء غیرنسبیتی 

انرژی اتلافی در پلاسمای غیرنسبیتی 

### ۱-۳- مقدمه:

در فصل قبل به بررسی رفتار کوارک چرخان در محیط پلاسما و خلاء نسبیتی پرداختیم. سپس انرژی اتلافی را برای دو حد متفاوت و در دو محیط پلاسما و خلاء بدست آورده، با هم مقایسه کردیم. اکنون مسائل مطرح شده‌ی قبل را برای فضا زمان غیرنسبیتی مورد تحقیق قرار می‌دهیم.

بار دیگر کوارکی را در نظر می‌گیریم که بر روی دایره‌ای به شعاع  $l$  و با سرعت زاویه‌ای  $\omega$  حرکت می‌کند. در فصل اول گفته‌یم فضای غیرنسبیتی شامل فضای شروودینگر و فضای لیف‌شیتز می‌باشد. چنانچه متغیر  $z$  این مسئله یک در نظر گرفته شود از آنجا که تغییرات زمان و مکان از یک مرتبه می‌شوند فضای ما فضای نسبیتی خواهد شد. اگر  $z^2 = \frac{c}{l}$  فرض شود فضا، فضای غیرنسبیتی شروودینگری است و در  $z$ ‌های بالاتر فضا، فضای غیرنسبیتی لیف‌شیتز خواهد بود.

پیدا کردن اینکه در چه حدی تناظر پیمانه گرانش را می‌توان به هندسه‌هایی تعمیم داد که به  $AdS$  نمی‌رسند همیشه یک چالش مهم بوده است. به ویژه می‌توان نظریه‌هایی را در نظر گرفت ناوردای همدیس نیستند اما تحت پیمایش‌های مشخصی ممکن است ناوردا باشند. در حقیقت چنین تعمیمی در مفهوم کاربردی تناظر  $AdS/CFT$  در فیزیک ماده چگال به کار گرفته شده است. یک نمونه‌ی اصلی از این مدل، نظریه‌ای است با نقطه‌ی ثابت لیف‌شیتز؛ که این نظریه تحت مقیاس همسانگرد ویژه‌ای ناوردا می‌باشد و تحت تبدیلات زیر قرار می‌گیرد:

$$t \rightarrow \lambda^z t, \quad x_i \rightarrow \lambda x_i \quad (1-3)$$

که  $t$  زمان و  $x_i$ ‌ها جهت‌های فضا زمان هستند.

توصیف هولوگرافی یک تئوری  $d+1$  بعدی با نقطه‌ی ثابت شده‌ی لیف‌شیتز در مرجع [16] بیان شده است که دوگان گرانشی ما را با متريک زير معرفی می‌کند:

$$ds_{d+1}^2 = R^2 \left( \frac{-dt^2}{r^{2z}} + \frac{dr^2}{r^2} + \sum_{i=1}^d dx_i^2 \right) \quad (2-3)$$

كه  $R$  شعاع احنا و  $d$  ابعاد فضا می‌باشند و  $z$  می‌تواند مقادیر  $1, 2, \dots$  را پپذيرد.

این مهم است بدانيم متريک ليف‌شیتز جواب معادلات گرانشی کيهانی انيشتین نيست. اين واضح است؛ چرا که در معادلات گرانشی کيهانی انيشتین ناهمسانگردي در فضا زمان وجود ندارد. در حقيقت متريک ليف‌شیتز جوابی است که از حل معادلات جفت شده‌ی گرانش انيشتین با ميدان‌های ديگر بدست آمده است و ميدان خارجي می‌تواند ميدان پيمانه‌اي جرمدار باشد تا بتواند ناهمسانگردي را به وجود بياورد. با اين تفاسير می‌توان گفت متريک ليف‌شیتز از نظريه‌ی انيشتین ماسکول ديلاتون پيدا می‌شود.

### ۳-۲-بررسی رفتار ريسمان چرخان در خلاء غيرنسبتي:

منظور از محیط خلاء محيطي مطابق با نظریه ابر تقارن يانگ ميلز  $N=4$  است که در آن دما صفر است. اين محیط همديس است زيرا مقیاس انرژي ندارد و فیزیکش در انرژي‌های بالا و پایین بدون تغيير باقی می‌ماند. پس رفتارش شبیه به  $CFT$  است و می‌توان از روش  $AdS/CFT$  برای حل مسائل آن استفاده کرد. متريک مورد نظر در اين فضا به شكل زير می‌باشد:

$$ds_{d+2}^2 = r^{\frac{2\theta}{d}} \left( \frac{-dt^2}{r^{2z}} + \frac{dr^2}{r^2} + \sum_{i=1}^d dx_i^2 \right) \quad (3-3)$$

همانطور که در فصل يك بيان كرديم  $R$  شعاع احنا،  $d$  ابعاد فضا،  $x_i$  ابعاد مکاني فضای تخت،  $t$  بعد زمان و  $z$  و  $\theta$  توان ديناميكي و ابر مقیاس می‌باشند.

متريک (۳-۳) تحت تبديلات زير قرار مي گيرد:

$$r \rightarrow \lambda r, \quad x_i \rightarrow \lambda x_i, \quad t \rightarrow \lambda^z t, \quad ds_{d+2} \rightarrow \lambda^{\frac{\theta}{d}} ds_{d+2} \quad (4-3)$$

براي  $\theta = 0$  متريک ما ناوردا خواهد بود. در غير اين صورت متريک ناوردا نمي شود. حال برای پرداختن

به مسئله کوارک چرخان به متريک (۳-۳) باز مي گردیم. با استفاده از تبدیل (۱۳-۲) متريک (۳-۳)

به معادله زير تبدیل مي شود:

$$ds_{d+2}^2 = r^{\frac{2\theta}{d}} \left( \frac{-dt^2}{r^{2z}} + \frac{dr^2}{r^2} + \frac{d\rho^2}{r^2} + \frac{\rho^2 d\phi^2}{r^2} + \frac{\sum_{i=3}^d dx_i^2}{r^2} \right) \quad (5-3)$$

متغيرهای جهان سطح ريسمان به اين شكل خواهد بود:

$$x^\mu(\tau, \sigma) \equiv (t = \tau, r = \sigma, \rho = \rho(r), \phi = \omega\tau + \phi(r), x_3 = 0) \quad (6-3)$$

کنش نامبو گوتو در اين زمينه به صورت زير است:

$$S = \frac{-1}{2\pi\alpha'} \int d\tau d\sigma r^{\frac{2\theta}{d}-1-z} \sqrt{(1-\rho^2\omega^2 r^{2(z-1)})(1+\rho'^2)+\rho^2\phi'^2} \quad (7-3)$$

كه مي توان لاگرانژی را از معادله (۷-۳) به اين شكل نوشت:

$$L = r^{\frac{2\theta}{d}-1-z} \sqrt{(1-\rho^2\omega^2 r^{2(z-1)})(1+\rho'^2)+\rho^2\phi'^2} \quad (8-3)$$

معادلات حرکت لاگرانژ اویلر به اين صورت خواهد بود:

$$\begin{aligned} \frac{\partial L}{\partial \rho} - \frac{\partial}{\partial r} \frac{\partial L}{\partial \rho'} &= 0 \\ \frac{\partial L}{\partial \theta} - \frac{\partial}{\partial r} \frac{\partial L}{\partial \theta'} &= 0 \end{aligned} \quad (9-3)$$

و برای ثابت حرکت داریم:

$$\Pi_\phi = \frac{-\partial L}{\partial \phi'} = \frac{-r^p \rho^2 \phi'}{\sqrt{(1-\rho^2 \omega^2 r^q)(1+\rho'^2) + \rho^2 \phi'^2}} = cte \quad (10-3)$$

که  $p$  و  $q$  به صورت  $p = \frac{2\theta}{d} - 1 - z$  می‌باشند. مانند روش‌های قبل برای بدست

آوردن  $\phi'^2$  طرفین معادله (10-3) را به توان ۲ می‌رسانیم. داریم:

$$\begin{aligned} \Pi_\phi^2 &= \frac{r^{2p} \rho^4 \phi'^2}{(1-\rho^2 \omega^2 r^q)(1+\rho'^2) + \rho^2 \phi'^2} \\ \Pi_\phi^2 \rho^2 \phi'^2 - r^{2p} \rho^4 \phi'^2 &= \Pi_\phi^2 (1-\rho^2 \omega^2 r^q)(1+\rho'^2) \\ \Rightarrow \phi'^2 &= \frac{\Pi_\phi^2 (1-\rho^2 \omega^2 r^q)(1+\rho'^2)}{\rho^2 (r^{2p} \rho^2 - \Pi_\phi^2)} \end{aligned} \quad (11-3)$$

شكل کلی معادله حرکت به صورت زیر خواهد بود:

$$\rho'' + \left( \frac{\rho(r-p\rho\rho')}{r(r^{-2p}\Pi^2-\rho^2)} + \frac{(2-qr^{q-1}\omega^2\rho^3\rho')}{2\rho(1-r^q\omega^2\rho^2)} \right) (1+\rho'^2) = 0 \quad (12-3)$$

برای حل این معادله ما نیاز داریم با استفاده از روش‌های قبل نقطه‌ی  $(u_c, \rho_c)$  را بیابیم که در اینجا

با  $(r_0, \rho_0)$  نمادگذاری شده است:

$$\rho_0 = \frac{(\Pi\omega)^{\frac{-q}{2p-q}}}{\omega}, \quad r_0 = (\Pi\omega)^{\frac{2}{2p-q}} \quad (13-3)$$

با روش‌های مشابه آنچه در فصل پیش گفته شد برای بدست آوردن  $\rho'$  از بسط تیلور زیر استفاده

می‌کنیم:

$$\rho = \rho_0 + \rho_1(r-r_0) + \frac{1}{2} \rho_2(r-r_0)^2 + \dots \quad (14-3)$$

که  $\rho_i$  ها برای  $i = 1, 2, \dots$  مشتقات مرتبه‌ی اول و دوم و .... بسط خواهند بود. حال این بسط را در معادله‌ی حرکت قرار داده و  $\rho'_0$  را بدست می‌آوریم. فرمول کلی برای بدست آوردن  $\rho'_0$  برای هر  $z, \theta$  و  $d$  دلخواهی به صورت زیر خواهد بود:

$$\rho_1^2 - \frac{2(2\omega^2 - pq(\Pi\omega)^{\frac{2q+4}{q-2p}})}{(q+2p)\omega(\Pi\omega)^{\frac{q+2}{q-2p}}} \rho_1 - 1 = 0 \quad (15-3)$$

برای بدست آوردن شکل حرکت ریسمان چرخان در این فضا ابتدا برای دو کمیت  $\theta$  و  $z$  مقدار  $z = 2$  انتخاب می‌کنیم. پس ابتدا رفتار ریسمان در  $z = 1$  و  $\theta = 0$  بررسی می‌شود. سپس با انتخاب  $\theta = 0, \frac{d}{2}, \frac{3d}{4}$  در  $\theta$  های مسئله را بازنگری می‌کنیم. جزئیات حل این مسئله و بدست آوردن نمودار آن در نرم افزار متمتیکا انجام شده است. اکنون برای  $z = 0$  و  $\theta = 0$  داریم:

$$((2\rho' + 2\rho'^3 + r\rho^3(\omega^2 - \phi'^2)(\omega^2 + \omega^2\rho'^2 - \phi'^2) + r\rho(-\omega^2 + \phi'^2 - \rho'^2(\omega^2 - 2\phi'^2)) - r\rho'' + \omega^2\rho^4(2\omega^2\rho'^3 + r(-\omega^2 + \phi'^2)\rho'' + \rho'(2\omega^2 - 2\phi'^2 - r\phi'\phi'')) + \rho^2(-4\omega^2\rho'^3 + r(2\omega^2 - \phi'^2)\rho'' + \rho'(-4\omega^2 + 2\phi'^2 + r\phi'\phi''))) / (r^3\sqrt{(1-\omega^2\rho^2)(1+\rho'^2) + \rho^2\phi'^2}(-1 - \rho'^2 + \rho^2(\omega^2 + \omega^2\rho'^2 - \phi'^2))) = 0 \quad (16-3)$$

با جایگذاری  $\phi'^2$  در معادله‌ی بالا و ساده‌سازی معادله‌ی زیر بدست می‌آید:

$$\rho'' + \left( \frac{\rho(r+2\rho\rho')}{r(r^{-4}\Pi^2 - \rho^2)} + \frac{2}{2\rho(1-\omega^2\rho^2)} \right) (1+\rho'^2) = 0 \quad (17-3)$$

از معادله‌ی (13-3) شرایط مرزی برای  $z = 1$  به این صورت بدست می‌آید:

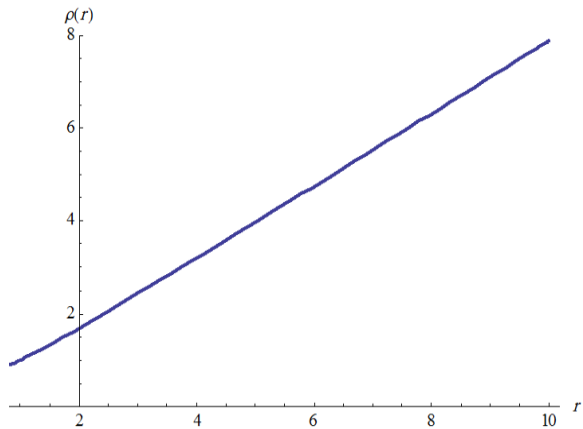
$$\rho_0 = \frac{1}{\omega}, \quad r_0 = \frac{1}{\sqrt{\Pi\omega}} \quad (18-3)$$

همچنین از حل (15-3) داریم:

$$\rho'_0 = \frac{-\omega + \sqrt{\omega}\sqrt{4\Pi + \omega}}{2\sqrt{\Pi\omega}} \quad (19-3)$$

حال با در دست داشتن شرایط مرزی معادله‌ی مربوطه را حل کرده شکل ریسمان را برای مقادیر

$\Pi=1, \omega=1$  به صورت زیر بدست می‌آوریم.



شکل(۱-۳) : نمودار  $\rho(r)$  بر حسب  $r$  برای  $\Pi=1, \omega=1, z=1, \theta=0$

برای این شکل مرز را در  $r=0$  در نظر گرفته‌ایم.  $\rho(r)$  شعاع چرخش ریسمان و  $r$  بعد هولوگرافی

است. همانطور که از شکل (۱-۳) مشخص است با حرکت از مرز به سمت فضای حجم، شعاع چرخش

ریسمان بیشتر می‌شود. حال کارهای انجام شده را برای  $z=2$  و  $\theta=0, \frac{d}{2}, \frac{3d}{4}$  تکرار می‌کنیم.

معادلات حرکت به ترتیب افزایش  $\theta$  بدین شکل خواهد بود:

$$\rho'' + \left( \frac{\rho(r+3\rho\rho')}{r(r^6\Pi^2-\rho^2)} + \frac{2-2r\omega^2\rho^3\rho'}{2\rho(1-r^2\omega^2\rho^2)} \right) (1+\rho'^2) = 0 \quad (20-3)$$

$$\rho'' + \left( \frac{\rho(r+2\rho\rho')}{r(r^4\Pi^2-\rho^2)} + \frac{2-2r\omega^2\rho^3\rho'}{2\rho(1-r^2\omega^2\rho^2)} \right) (1+\rho'^2) = 0 \quad (21-3)$$

$$\rho'' + \left( \frac{\rho(r+\frac{3}{2}\rho\rho')}{r(r^3\Pi^2-\rho^2)} + \frac{2-2r\omega^2\rho^3\rho'}{2\rho(1-r^2\omega^2\rho^2)} \right) (1+\rho'^2) = 0 \quad (22-3)$$

برای شرایط مرزی به ترتیب افزایش  $\theta$  داریم:

$$\rho_0 = \frac{(\Pi\omega)^{1/4}}{\omega}, \quad r_0 = \frac{1}{(\Pi\omega)^{1/4}} \quad (23-3)$$

$$\rho_0 = \frac{(\Pi\omega)^{1/3}}{\omega}, \quad r_0 = \frac{1}{(\Pi\omega)^{1/3}} \quad (24-3)$$

$$\rho_0 = \frac{(\Pi\omega)^{2/5}}{\omega}, \quad r_0 = \frac{1}{(\Pi\omega)^{2/5}} \quad (25-3)$$

همچنین برای  $\rho'_0$  داریم:

$$\rho'_0 = \frac{-3\Pi - \omega + \sqrt{(\Pi + \omega)(9\Pi + \omega)}}{2\sqrt{\Pi\omega}} \quad (26-3)$$

$$\rho'_0 = \frac{\Pi(-\omega^2 - 2(\Pi\omega)^{4/3} + \sqrt{\omega^2(\omega^2 + 4\Pi^2(\Pi\omega)^{2/3} + 5(\Pi\omega)^{4/3})})}{(\Pi\omega)^{5/3}} \quad (27-3)$$

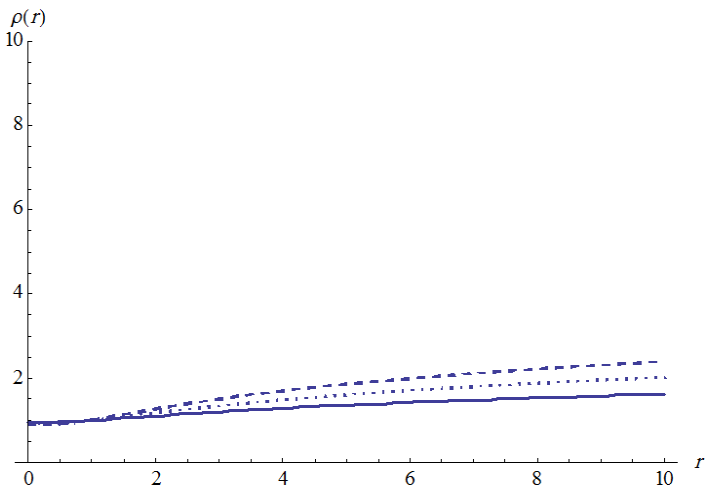
$$\rho'_0 = \frac{\Pi(-2\omega^2 - 3(\Pi\omega)^{8/5} + \sqrt{\omega^3(4\omega + 9\Pi^3(\Pi\omega)^{1/5} + 13\Pi(\Pi\omega)^{3/5})})}{(\Pi\omega)^{9/5}} \quad (28-3)$$

با داشتن این روابط معادلات حرکت را حل کرده، نمودار تغییرات  $\rho(r)$  را بر حسب  $r$  برای  $z=2$  و

$\Pi=1, \omega=1$  در  $\theta=0, \frac{d}{2}, \frac{3d}{4}$  رسم می‌کنیم که حل و رسم نمودار توسط نرم افزار متتمیکا انجام

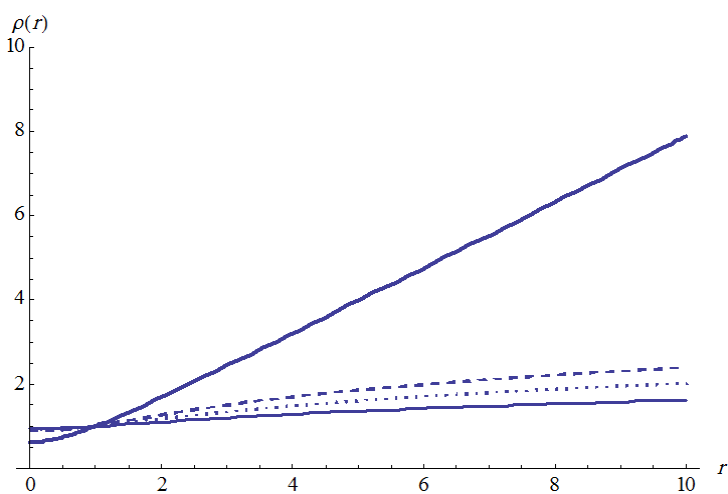
شده است. نمودار تغییرات  $\rho(r)$  را بر حسب  $r$  برای  $z=2$  و  $\Pi=1, \omega=1$  در  $\theta=0, \frac{d}{2}, \frac{3d}{4}$  رسم

می‌کنیم که به صورت شکل (۲-۳) است.



شکل(۲-۳) : نمودار  $\rho(r)$  بر حسب  $r$  برای  $\theta=0, \frac{d}{2}, \frac{3d}{4}$  و  $z=2$ . منحنی خط چین شده برای  $\theta=0$  ، منحنی نقطه چین شده برای  $\theta=\frac{d}{2}$  و پایینی برای  $\theta=\frac{3d}{4}$  می باشد.

در شکل (۲-۳) مشخص می شود که در یک  $r$  ثابت، برای  $\theta$  های بزرگتر شعاع دوران ریسمان چرخان، کوچکتر می باشد. حال با ترکیب شکل (۲-۳) و شکل (۳-۳) به شکل (۲-۳) می رسیم که با نتایج مندرج در مرجع [12] در توافق کامل است. با این تفاوت که در این مرجع، ترتیب نمودارهای رسم شده در  $z=2$  به اشتباه به ترتیب از بالا به پایین با  $\theta=0, \frac{d}{2}, \frac{3d}{4}$  برحسب گذاری شده است.



شکل(۳-۳) : نمودار  $\rho(r)$  بر حسب  $r$  برای  $\theta=0, \frac{d}{2}, \frac{3d}{4}$  و  $z=2$ ،  $\theta=0$  و  $z=1$  با  $\Pi=1, \omega=1$

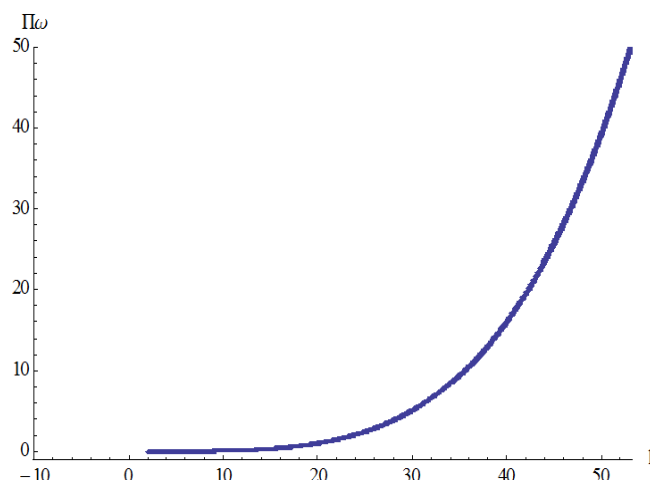
پس با استفاده از روش‌های عددی توانستیم نمودار تغییرات  $(r) \rho$  را بیابیم. نمودار شکل (۳-۳) تغییرات نحوه انتشار ریسمان را در عمق حجم نشان می‌دهد و نشان می‌دهد که در یک  $r$  ثابت شعاع دوران ریسمان در  $z = 1$  بیشتر است از  $z = 2$ .

### ۳-۳-۳- انرژی از دست رفته در خلاء غیرنسبیتی:

اکنون با پیدا کردن شکل ریسمان چرخان، پیدا کردن انرژی از دست رفته‌ی ریسمان آسان است. از کنش نامبو گوتو می‌توان مشخص کرد که مانند فصل پیش انرژی از دست رفته با فرمول زیر بدست می‌آید:

$$\frac{dE}{dt} = \frac{\Pi\omega}{2\pi\alpha'} \quad (29-3)$$

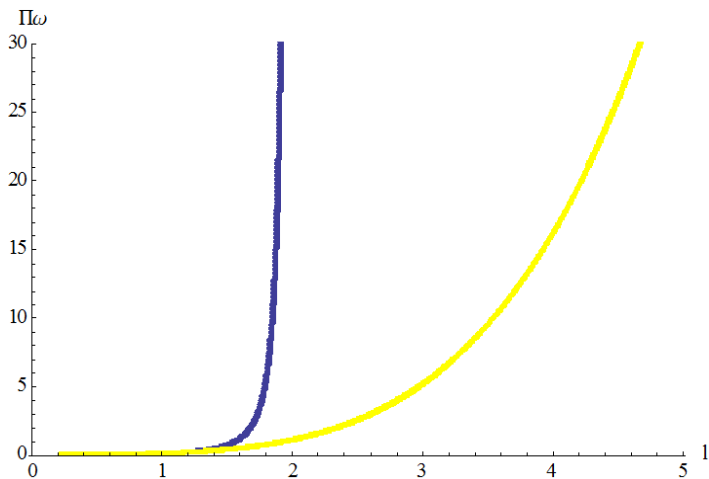
حال نمودار اتلاف انرژی را برای  $z = 2$  و  $\theta = 0$  بر حسب شعاع دوران کوارک رسم می‌کنیم.



شکل (۴-۳) : نمودار اتلاف انرژی برای  $z = 2$  و  $\theta = 0$  بر حسب  $l$  برای  $\omega = 0.05$ .

از مقایسه‌ی شکل (۴-۳) با سطر اول شکل (۹-۲) می‌توان فهمید که برخلاف نمودار اتلاف انرژی حالت نسبیتی که در سرعت بالا (در حد سرعت نور) جانب عمودی پیدا می‌کرد و نمی‌توانست سرعت بالاتری را بپذیرد، در فضای غیر نسبیتی جانب عمودی نداریم و سرعت ذره می‌تواند هر مقداری بگیرد. که این یکی از خواص متريک ليفشيتز می‌باشد.

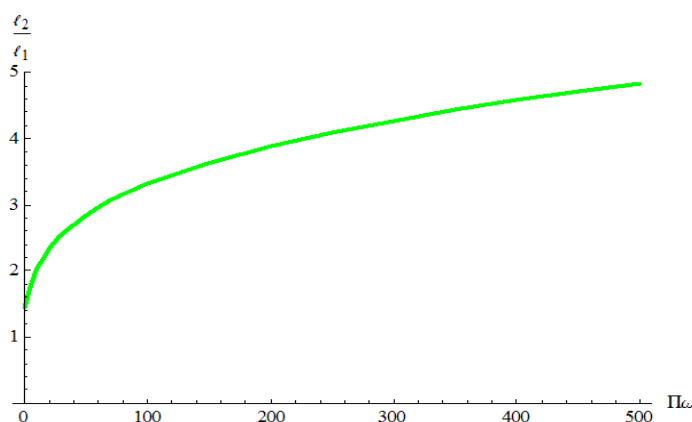
این اختلاف در نمودار شکل (۵-۳) به وضوح قابل مشاهده است.



شکل (۵-۳) : انرژی از دست رفته در حالت نسبیتی و غیر نسبیتی.

نمودار سمت چپ اتلاف انرژی برای  $z=1$  سمت راست  $z=2$  را نشان می‌دهند.

اگر  $l_1$  شعاع کوارک چرخان در مرز برای خلاء نسبیتی و  $l_2$  شعاع کوارک چرخان در مرز برای خلاء غیر نسبیتی باشد، با رسم نمودار  $\frac{l_2}{l_1}$  بر حسب اتلاف انرژی کل می‌توان دربارهٔ اختلاف بین شعاع‌ها در خلاء نسبیتی و غیر نسبیتی بحث کرد. نمودار مربوطه در شکل (۶-۳) نشان داده شده است.



شکل (۶-۳) : نمودار  $\frac{l_2}{l_1}$  بر حسب  $\Pi\omega$ .

شکل (۶-۳) نشان دهنده‌ی این است که شعاع حرکت کوارک در  $z=2$  نسبت به شعاع حرکت کوارک در  $z=1$  بیشتر است. یعنی اتلاف انرژی کوارک چرخان در خلاء غیرنسبیتی در شعاع بزرگتری با اتلاف انرژی کوارک چرخان در خلاء نسبیتی برابر می‌شود.

پس از بررسی اتلاف انرژی کل به دنبال آن هستیم که در حد  $\omega$ ‌های متفاوت انرژی از دست رفته ناشی از حضور نیروی مقاوم را در این محیط بررسی کنیم. اگرچه مفهوم خلاء یادآور نبود ماده و به دنبال آن عدم حضور نیروی مقاوم می‌باشد؛ اما متريک ليفشيتز اين شرایط را فراهم می‌آورد که در عدم حضور ماده، ذره نیروی مقاوم را احساس کند و اين يكى از خصوصيات متفاوت اين متريک می‌باشد که در مراجع [14] و [16] به تفصيل در باره‌ی آن بحث شده است.

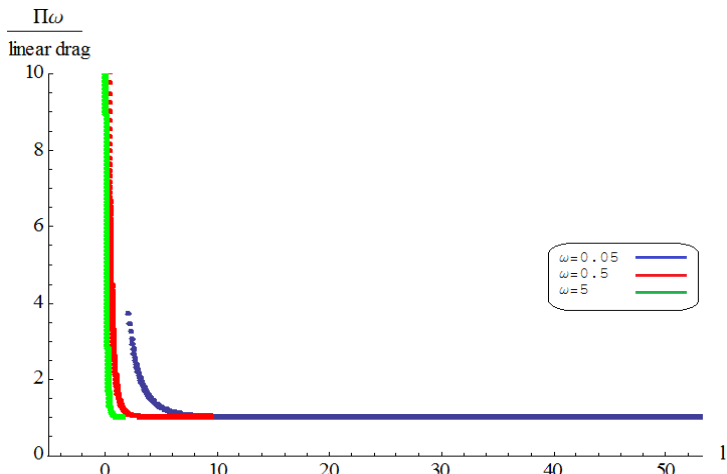
هنگامی که کوارک آزمون در مرز در حال چرخیدن است انتظار می‌رود در سرعت‌هایی که به اندازه‌ی کافی کوچک هستند، رفتار ريسمان چرخان و پیرو آن انرژی از دست رفته‌اش مشابه رفتار ريسمان در حال حرکت در مسیر مستقیم باشد. اکنون ما با بررسی انرژی اتلافی ناشی از نیروی مقاوم به تحقیق این نکته می‌پردازیم. فرمول مربوط به اتلاف انرژی ناشی از نیروی مقاوم به این صورت می‌باشد:

$$\frac{dE}{dt} = \Pi_x v \quad (30-3)$$

كه  $\Pi_x$  از فرمول زير بدست می‌آيد:

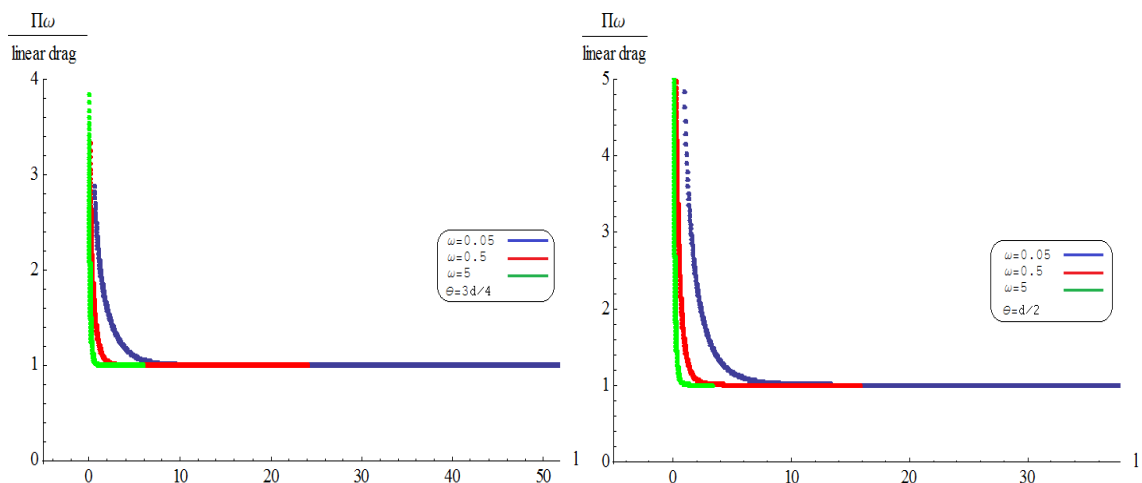
$$\Pi_x = \frac{dp}{dt} = -\frac{v}{2\pi\alpha'} v^{\frac{2(d-\theta)}{d(z-1)}} \quad (31-3)$$

در اينجا  $v$  سرعت حرکت کوارک است و مطابق آنچه پيشتر گفته شد  $d$  ابعاد فضا و  $z$  و  $\theta$  توان‌های ديناميکي و ابرمقاييس هستند. حال می‌خواهيم بدانيم در چه حدی سهم غالب انرژي اتلافی ناشی از نیروی مقاوم است. برای اين منظور نسبت انرژي از دست رفته‌ی کل را به فرمول بالا به دست می‌آوريم. چنانچه اين نسبت در حد خاصی برابر يك شد، می‌توان ادعا کرد در اين حد انرژي اتلافی ناشی از نیروی مقاوم است. در شكل (7-3) نسبت مقدار  $\Pi\omega / (\Pi\omega)_{linear-drag}$  را برای  $z=2$  و  $\theta=0$  رسم کرده‌ایم که اين کار توسط نرم افزار متمتيكا انجام شده با سه  $\omega$  متفاوت  $\omega=0.05, 0.5, 5$  رسم شده است.



شکل (۷-۳) : نسبت  $\Pi\omega / (\Pi\omega)_{linear-drag}$  بر حسب  $I$  به ترتیب از بالا به پایین برای  $\omega = 0.05, 0.5, 5$ .

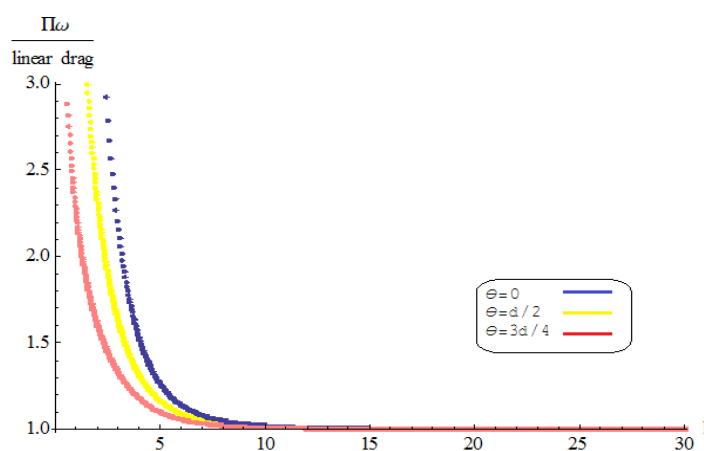
از نمودارهای رسم شده در شکل (۷-۳) می‌توان فهمید که در بازه‌های متفاوتی انرژی اتلافی تماماً ناشی از نیروی مقاوم خواهد بود. همچنین با کاهش  $I$  سهم اتلاف انرژی ناشی از تابش در مقایسه با میزان انرژی اتلافی ناشی از نیروی مقاوم بیشتر خواهد بود؛ به طوری که می‌توان از انرژی اتلافی نیروی مقاوم چشم پوشی کرد. اکنون با روشن کردن  $\theta$  تأثیر این پارامتر را بر اتلاف انرژی نیروی مقاوم بررسی می‌کیم.



شکل (۸-۳) : نسبت  $\Pi\omega / (\Pi\omega)_{linear-drag}$  بر حسب  $I$  برای  $\theta$  های متفاوت. و به ترتیب از بالا به پایین برای  $\theta = 3d/4$  و سمت راست :  $\theta = d/2$  و سمت چپ :  $\omega = 0.05, 0.5, 5$

شکل (۸-۳) بیان گر این است که با روشن شدن  $\theta$  نیز سهم اتلاف انرژی مربوط به نیروی مقاوم در  $I$  های بزرگ غالب خواهد بود و در  $I$  های کوچک به دلیل بالا بودن اتلاف انرژی ناشی از تابش از انرژی

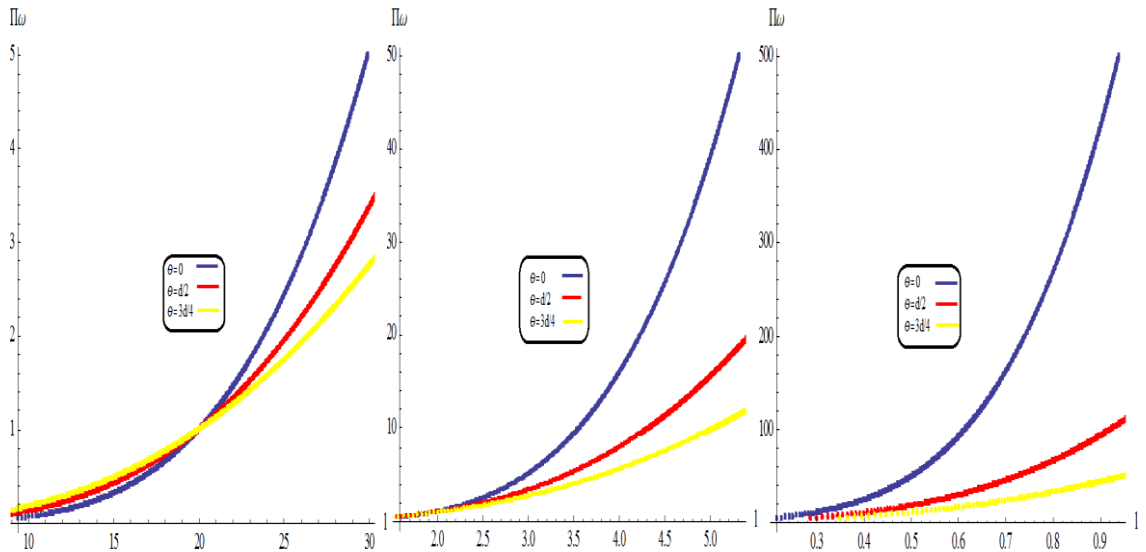
اتلافی نیروی مقاوم چشم پوشی می‌کنیم. اگرچه رفتار انرژی اتلافی برای  $\theta$  های مختلف در  $l$  های بزرگ مشابه است اما در  $l$  های کوچک اتلاف انرژی تابشی آنها مختلف خواهد بود. برای مقایسه حالت  $0 \neq \theta = 0$  نمودار زیر را برای  $\omega = 0.05$  و  $z = 2$  رسم کنیم.



شکل (۹-۳) : نسبت  $\Pi\omega / \text{linear-drag}$  بر حسب  $l$ . به ترتیب از بالا به پایین  $\theta = 0, \frac{d}{2}, \frac{3d}{4}$ .

شکل (۹-۳) نشان می‌دهد با روشن کردن  $\theta$ ، هرچه این پارامتر بزرگ‌تر شود برای رسیدن به اتلاف انرژی‌های یکسان، شعاع دوران کوارک چرخان باید افزایش یابد. همچنین می‌توان مشاهده کرد که در شعاع‌های دوران یکسان، نسبت انرژی اتلافی کل به انرژی اتلافی نیروی مقاوم برای  $\theta$  های کوچک‌تر، بزرگ‌تر خواهد بود. به عبارتی در  $\theta$  های کوچک‌تر اتلاف انرژی نیروی مقاوم کمتر و اتلاف ناشی از تابش بیشتر خواهد بود.

همچنین می‌توان تأثیر روشن کردن  $\theta$  را بر روی انرژی اتلافی کل بررسی کرد. در شکل (۱۰-۳) با ثابت نگه داشتن  $\omega$  در مقادیر  $0.05, 0.5, 5$  و تغییر  $\theta$  به مقادیر  $0, \frac{d}{2}, \frac{3d}{4}$  تأثیر این پارامتر را بر انرژی اتلافی کل در  $z = 2$  بررسی می‌کنیم.



شکل (۱۰-۳) : نمودار انرژی اتلافی کل بر حسب  $v$ . از چپ به راست به ترتیب  $\omega = 0.05, 0.5, 5$  و از بالا به پایین به ترتیب  $\theta = 0, \frac{d}{2}, \frac{3d}{4}$  می‌باشد.

در شکل (۱۰-۳) نشان داده می‌شود که در خلاء غیرنسبیتی تا زمانی که سرعت حرکت کوارک چرخان کمتر از سرعت نور است با افزایش  $\theta$  انرژی اتلافی کل افزایش می‌یابد. اما با عبور از سرعت نور اتلاف انرژی کل برای هر سرعت زاویه‌ای دلخواهی با افزایش  $\theta$  کاهش می‌یابد. این نتیجه در نمودار مربوط به  $\omega = 0.05$  به وضوح قابل مشاهده است.

#### ۴-۳- انرژی اتلافی در پلاسمای غیرنسبیتی:

مطابق آنچه در گذشته دنبال کردہ‌ایم برای بررسی رفتار کوارک در این محیط ابتدا لازم است شکل جهان سطح آن را بدانیم. این جهان سطح به شکل زیر خواهد بود:

$$X^\mu = (t = \tau, r = \sigma, \varphi = \alpha t + \theta(r), \rho = \rho(r), x_3 = 0) \quad (32-3)$$

متريک مورد استفاده در اين فضا به اين صورت است:

$$ds^2 = l^2 (-r^{2z} f(r) dt^2 + \frac{dr^2}{r^2 f(r)} + r^2 (\overline{dx_i})^2) \quad (33-3)$$

که  $l$  در اینجا به شعاع دایره‌ای که کوارک روی آن می‌چرخد مربوط نمی‌شود و شعاع انحنای فضای AdS می‌باشد.  $r$  بعد هولوگرام،  $x$  ابعاد فضا و  $t$  بعد زمانی می‌باشد. همچنین داریم:

$$f(r) = 1 - \left(\frac{a}{r}\right)^{z+d}$$

می‌گیریم. برای بدست آوردن معادله‌ی حرکت لازم است چگالی لاغرانژی را داشته باشیم:

$$L = \sqrt{\left(\left(\frac{-l^2}{r^2 f(r)}\right)(l^2(-r^{2z}f(r)+r^2\rho^2\omega^2))-l^2r^2(-r^{2z}l^2f(r)+r^2l^2\rho^2\omega^2)\rho'^2-(-r^{2z}l^4f(r)r^2\rho^2\theta'^2)\right)} \quad (34-3)$$

بار دیگر از معادلات حرکت اویلر لاغرانژ استفاده می‌کنیم:

$$\begin{aligned} \frac{\partial L}{\partial \rho} - \frac{\partial}{\partial r} \frac{\partial L}{\partial \rho'} &= 0 \\ \frac{\partial L}{\partial \theta} - \frac{\partial}{\partial r} \frac{\partial L}{\partial \theta'} &= 0 \end{aligned} \quad (35-3)$$

از آنجا که لاغرانژی ما وابستگی صریحی به  $\theta$  ندارد در معادله‌ی دوم (35-3) جمله‌ی اول حذف می‌شود و معادله به ما یک ثابت حرکت به شکل زیر می‌دهد:

$$\Pi = \frac{-\partial L}{\partial \theta'} = \frac{r^{2z}l^4f(r)r^2\rho^2\theta'}{L} = cte \quad (36-3)$$

آنچه مشخص است این است که با روابط موجود، پارامترهای زیادی وجود دارد که ادامه راه حل را برای ما دشوار می‌سازد. پس با انتخاب  $a=1, l=1, d=3, z=2$  محاسبات را به این شکل ادامه می‌دهیم. لاغرانژی بدست آمده با این متغیرها به صورت زیر خواهد بود:

$$L = \sqrt{\frac{(-1+r^5)(-1+r^5+r^9\rho'^2)+r^3\rho^2(r^6(-1+r^5)\theta'^2-\omega^2(-1+r^5+r^9\rho'^2))}{r^8}} \quad (37-3)$$

اکنون معادله‌ی حرکت ریسمان چرخان را در این فضا به این شکل بدست می‌آوریم:

$$\begin{aligned}
 & ((-2r^3(-1+r^5)\rho^3(\omega^2-r^6\theta'^2)((r^6-r^{11})\theta'^2+\omega^2(-1+r^5+r^9\rho'^2)) + \\
 & 2(-1+r^5)^2\rho(\omega^2(-1+r^5+r^9\rho'^2)-r^6\theta'^2(-1+r^5+2r^9\rho'^2)) + \\
 & r^5(-1+r^5)(10(-1+r^5)^2\rho'+r^9(-1+6r^5)\rho'^3+2r(-1+r^5)^2\rho'') + \\
 & r^8\rho^2(5r^9(1-2r^5)\omega^2\rho'^3-(-1+r^5)\rho'((-23+18r^5)\omega^2+(r^6-6r^{11})\theta'^2+2r^7(-1+r^5)\theta'\theta'') + \\
 & 2r(-1+r^5)^2(-2\omega^2+r^6\theta'^2)\rho'') + r^{11}\omega^2\rho^4(4r^9\omega^2\rho'^3 + \\
 & \rho'((-13+8r^5)\omega^2+r^6(7-2r^5)\theta'^2+2r^7(-1+r^5)\theta'\theta'') - 2r(-1+r^5)(-\omega^2+r^6\theta'^2)\rho'')) / \\
 & (2r^{13}(\frac{(-1+r^5)(-1+r^5+r^9\rho'^2)+r^3\rho^2(r^6(-1+r^5)\theta'^2-\omega^2(-1+r^5+r^9\rho'^2))}{r^8})^{3/2})) = 0
 \end{aligned} \tag{38-۳}$$

با به توان دو رساندن طرفین رابطه‌ی (۳۶-۳) و ساده سازی آن داریم:

$$\theta'^2 = \frac{\Pi^2(-1+r^5-r^3\omega^2\rho^2)(-1+r^5+r^9\rho'^2)}{r^9(-1+r^5)\rho^2(-\Pi^2+r(-1+r^5)\rho^2)} \tag{39-۳}$$

اکنون رابطه‌ی (۳۹-۳) را در معادله‌ی (۳۸-۳) جایگذاری می‌کنیم. پس از ساده سازی داریم:

$$\begin{aligned}
 & (-r^8(-1+r^5)^2(-9+4r^5)\Pi^2\rho\rho' + \\
 & 2r^9(-1+r^5)(5(-1+r^5)^3+r^2(-6+r^5)\Pi^2\omega^2)\rho^3\rho' - \\
 & r^{12}(-1+r^5)^2(-13+8r^5)\omega^2\rho^5\rho' + \\
 & r^{18}((-1+r^5)^2(-1+6r^5)-r^2(3+2r^5)\Pi^2\omega^2)\rho^3\rho'^3 - \\
 & 4r^{21}(-1+r^5)^2\omega^2\rho^5\rho'^3 - 2(-1+r^5)^3\Pi^2(-1+r^5+r^9\rho'^2) + \\
 & 2r^4(-1+r^5)^3\omega^2\rho^4(-1+r^5+r^9\rho'^2)) + \\
 & \rho(-1+r^5-r^3\omega^2\rho^2)(-2r^9(-1+r^5)^3\Pi^2\rho + \\
 & 2r^{10}(-1+r^5)^2((-1+r^5)^2+r^2\Pi^2\omega^2)\rho^3 - \\
 & 2r^{13}(-1+r^5)^3\omega^2\rho^5)\rho'' = 0
 \end{aligned} \tag{40-۳}$$

می‌دانیم رابطه‌ی (۳۹-۳) باید همواره مثبت باشد. پس مانند قبل ریشه‌ی صورت و مخرج را بدست

آورده و آن جوابی را اختیار می‌کنیم که صورت و مخرج در آن همزمان تغییر علامت دهند. حاصل

این انتخاب به این صورت خواهد بود:

$$\rho_0 = \frac{\sqrt{-1+r^5}}{r^{3/2}\omega} \quad (41-3)$$

برای پیدا کردن  $r_0$  باید معادله  $n = \frac{r^4(-1+r^5)^4 - r^6(-1+r^5)^2 \Pi^2 \omega^2}{\omega^4}$  را - که از قرار دادن در

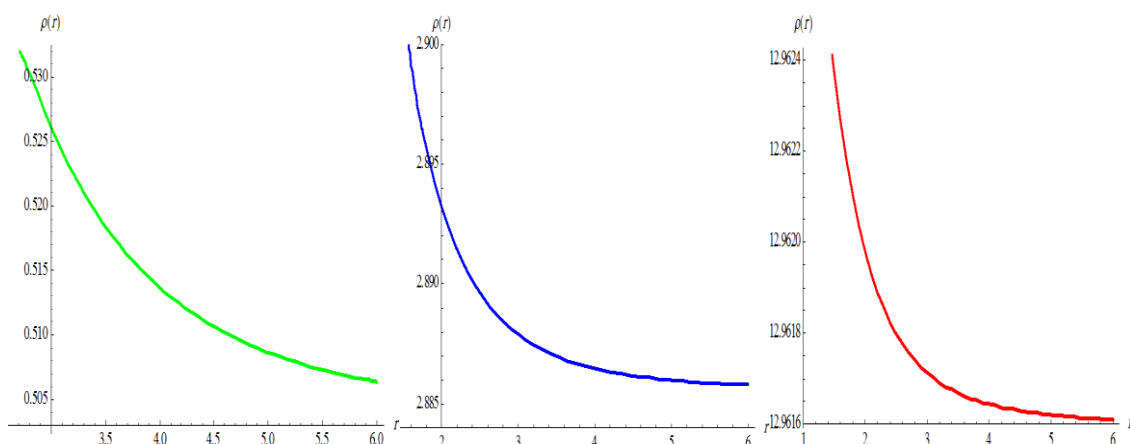
مخرج رابطه‌ی (۳۹-۳) بدست آمده- حل کنیم. از آنجا که ریشه‌های زیادی از حل این معادله بدست می‌آید معادله را به روش عددی حل می‌کنیم و برای هر مقدار  $\omega$  و  $\Pi$  دلخواه  $r_0$  مربوط به آن را

بدست می‌آوریم. با بسط معادله‌ی (۴۰-۳) و حل آن برای  $\rho'_0$  داریم:

$$\rho'_0 = -\frac{2(-1^5 + r_0^5)^{3/2} \omega}{r_0^{13/2} (31 + 2r_0^5)} \quad (42-3)$$

حال معادله‌ی حرکت را حل کرده نمودار  $\rho(r)$  را بر حسب  $r$  برای  $\Pi = 10$  و

رسم می‌کنیم.

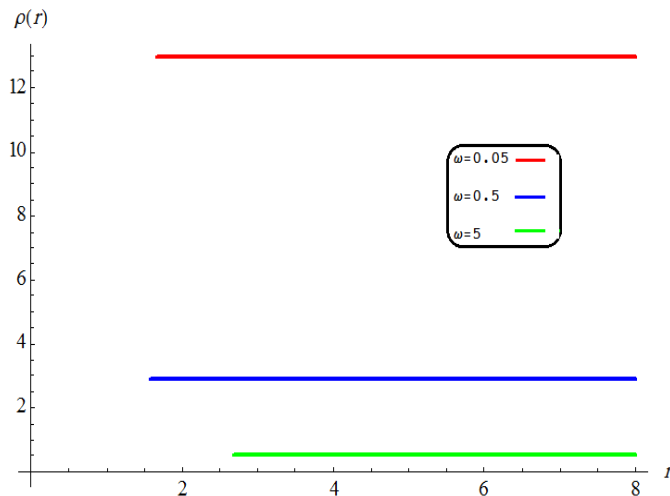


شکل (۱۱-۳) : نمودار  $\rho(r)$  بر حسب  $r$ . برای  $\Pi = 10$  و از راست به چپ به ترتیب: برای  $\omega = 5$ ;  $\omega = 0.5$ ;  $\omega = 0.05$ .

شکل (۱۱-۳) نشان می‌دهد مطابق آنچه پیشتر دیدیم هرچه از مرز به سمت فضای حجم پیش

می‌رویم شعاع دوران کوارک چرخان بیشتر می‌شود. با رسم سه نمودار فوق در یک نمودار مطابق

شکل (۱۲-۳) می‌توان رابطه‌ی شعاع دوران ریسمان با سرعت زاویه‌ای را نیز بررسی نمود.



شکل (۱۲-۳) : نمودار  $\rho(r)$  بر حسب  $r$ . از بالا به پایین به ترتیب برای:  $\omega = 5$ ;  $\omega = 0.5$ ;  $\omega = 0.05$ .

از شکل (۱۲-۳) می‌فهمیم هرچه سرعت زاویه‌ای کوارک چرخان کمتر باشد، شعاع دوایری که ریسمان چرخان ایجاد می‌کند بزرگ‌تر خواهد بود. از آنچه تا کنون انجام داده‌ایم می‌دانیم انرژی اتلافی از فرمول زیر بدست می‌آید:

$$\frac{dE}{dt} = \Pi \omega \quad (43-3)$$

پس می‌توانیم با داشتن  $\Pi$  و  $\omega$  انرژی اتلافی را برای معادلهٔ حل شده‌ی پیش بدست آورد و نمودار آن را رسم کرد. نمودارهای مربوطه در سطر اول شکل (۱۱-۳) برای  $\omega = 0.05, 0.5, 5$  رسم شده است.

می‌دانیم در محیط پلاسما بخشی از انرژی از دست رفته‌ی ریسمان ناشی از حضور نیروی مقاوم می‌باشد. همچنین پیشتر دیدیم که متریک لیف‌شیتز به تنها یک باعث ایجاد نیروی مقاوم می‌شود. پس نیروی مقاوم برای ریسمان در پلاسمای غیر نسبیتی برابر است با مجموع دو نیروی گفته شده. از معادله‌ی (۳۰-۳) و (۳۱-۳) توانستیم سهم اتلاف انرژی ناشی از نیروی مقاوم متریک را بیابیم. همچنین از آنجا که برای بخشی از انرژی اتلافی که ناشی از چرخش است فرمولی نداریم از پرداختن به آن صرف نظر می‌کنیم و اتلاف انرژی کل و انرژی از دست رفته به واسطهٔ نیروی مقاوم را مورد

بررسی قرار می‌دهیم. حال به سهم اتلاف انرژی ناشی از محیط پلاسما می‌پردازیم. انرژی اتلافی در این محیط به این صورت می‌باشد [14]:

$$\frac{dE}{dt} = vr_{c1}^2 \quad (44-3)$$

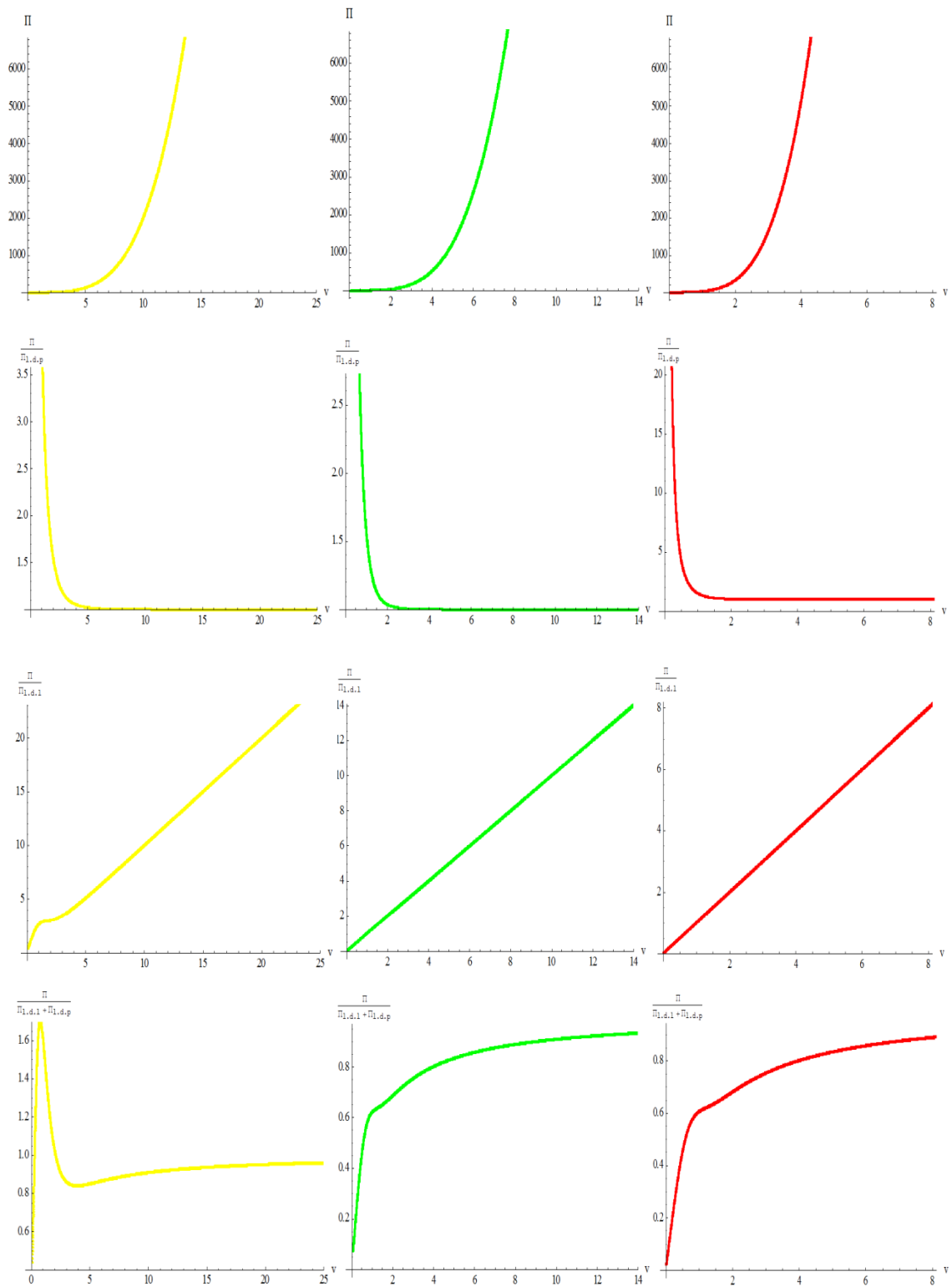
که با استفاده از ثابت حرکت بدست آمده از متریک (33-3) و برابر صفر قرار دادن صورت و مخرج آن می‌توان  $r_{c1}$  را از حل معادله:

$$s = ((1 - \frac{a}{r_{c1}})^{z+d}) r_{c1}^{2z-2} - v^2 \quad (45-3)$$

بدست آورد. که در محیط پلاسمای غیر نسبیتی  $r_{c1}$  همان ریشه‌ای است که ثابت حرکت را مثبت می‌کند. نکته‌ی قابل توجه این است که برای  $z=2$  و  $d=3$  در پلاسما با تقریب خوبی به  $r_0$  در خلاء نزدیک می‌شود.

هدف ما در اینجا بررسی انرژی از دست رفته و پیدا کردن مسیرهای اتلاف انرژی در حد سرعت بالا و پایین برای کوارک چرخان است. بدین منظور با تقسیم انرژی اتلافی کل بر هر یک از اتلاف انرژی‌های ناشی از نیروی مقاوم، و بر مجموع این دو، رفتار انرژی از دست رفته را در  $z=2$  با انتخاب  $a=1, l=1, d=3$ ،  $\omega=0.05, 0.5, 5$  مورد بررسی قرار می‌دهیم.

در نهایت با تقسیم انرژی اتلافی کل بر هر یک از اتلاف انرژی‌های ناشی از نیروی مقاوم، و بر مجموع این دو، رفتار انرژی از دست رفته را در هر حالت ذکر شده مورد بررسی قرار می‌دهیم. می‌توان با مقایسه و تحلیل نمودارهای موجود مشخص کرد که رفتار انرژی از دست رفته در حد سرعت بالا یا سرعت پایین چگونه است و در این حدود کدام شیوه‌ی اتلاف انرژی غالب است. همچنین می‌توان اتلاف انرژی غیرنسبیتی را با حالت نسبیتی آن مقایسه نمود.



شکل (۱۳-۳) : نمودار انرژی اتلافی در فضای غیر نسبیتی بر حسب  $\Pi$  برای براي  $v$  های مختلف و  $\omega$  هایی با مقادیر  $\omega = 0.05, 0.5, 5$  از راست به چپ به ترتیب: برای  $\omega = 0.05$ ؛  $\omega = 0.5$ ؛  $\omega = 5$ . سطر اول: اتلاف انرژی کل بر حسب  $v$ . سطر دوم: نسبت انرژی اتلافی کل به انرژی اتلافی ناشی از نیروی مقاوم متریک بر حسب  $v$ . سطر سوم: نسبت انرژی اتلافی کل به انرژی اتلافی ناشی از نیروی مقاوم در پلاسمما بر حسب  $v$ . سطر چهارم: نسبت انرژی اتلافی کل به مجموع انرژی اتلافی ناشی از نیروی مقاوم متریک و نیروی مقاوم در پلاسمما بر حسب  $v$ .

با مشاهدهٔ سطر اول شکل (۱۳-۳) می‌فهمیم که انرژی از دست رفتهٔ کل در  $\omega$ ‌های متفاوت با افزایش سرعت افزایش می‌یابد و از آنجا که محیط غیر نسبیتی است، هیچ محدودیتی در افزایش سرعت نداریم و نمودار انرژی اتلافی هیچ جانب عمودی ندارد.

سطر دوم شکل فوق که نسبت انرژی اتلافی کل به انرژی اتلافی ناشی از نیروی مقاوم متریک است نشان می‌دهد. این شکل نشان می‌دهد که در هر  $\omega$ ‌ی دلخواهی در سرعت خاصی می‌توان جانب افقی یک را داشت؛ به این معنی که انرژی اتلافی ناشی از نیروی مقاوم متریک با انرژی اتلافی کل برابر می‌شود.

سطر سوم نشان می‌دهد نسبت اتلاف انرژی کل به اتلاف انرژی نیروی مقاوم متریک در حد سرعت‌های پایین به صورت خطی است و انرژی اتلافی ناشی از نیروی مقاوم محیط با ضریب ثابتی نسبت به انرژی اتلافی کل تغییر می‌کند.

سطر چهارم نشان می‌دهد که انرژی اتلافی کل در حدودی می‌تواند برای هر  $\omega$  با مجموع انرژی اتلافی ناشی از نیروی مقاوم متریک و نیروی مقاوم در محیط برابر شود.

## فصل چهارم

\*نتیجه گیری\*

## نتیجه گیری:

در فصل دوم توانستیم آهنگ انرژی اتلافی برای کوارک در پلاسما و خلاء نسبیتی را بدست آوریم. دانستیم انرژی از دست رفته توسط کوارک متحرک را می‌توان به آسانی از شکل جهان سطح تعیین شده ارزیابی کرد. در پلاسمای نسبیتی انرژی اتلافی به دو دلیل وجود دارد؛ حضور نیروی مقاوم و تابش سینکروترونی. در حالی که در خلاء، ریسمان، انرژی تابش شده از کوارک چرخان را تنها ناشی از شتاب توصیف می‌کند.

همچنین نتایج بدست آمده حاکی از این است که برای  $\omega$  های کوچک، بخش غالب انرژی اتلافی، ناشی از نیروی مقاوم است که نرخ انرژی اتلافی در کوارک چرخان با نرخ اتلاف انرژی کوارک در حال حرکت در میسر مستقیم در توافق کامل با یکدیگرند. در این گستره سرعت موضعی ریسمان چرخان در هر نقطه را می‌توان توسط سرعت کوارک در مرز تقریب زد. این در حالی است که در  $\omega$  های بزرگ می‌توان تمام انرژی از دست رفته را ناشی از تابش در نظر گرفت.

در فصل سوم با در نظر گرفتن تأثیرات غیرنسبیتی و بدست آوردن نسبت انرژی اتلافی کل به انرژی اتلافی نیروی مقاوم در  $\omega$  ها و  $\theta$  های مختلف دریافتیم که مشابه نتایج فصل سوم، با افزایش  $\gamma$  سهم غالب اتلاف انرژی در خلاء مربوط به حضور نیروی مقاوم می‌باشد؛ به طوری که می‌توان رفتار کوارک چرخان در مرز را با رفتار کوارکی که در مسیر مستقیم در حال حرکت است تقریب زد.

از مقایسه این نتایج با تابش در خلاء نسبیتی نیز دریافتیم که در خلاء نسبیتی اتلاف انرژی ناشی از تابش است در حالی که در خلاء غیر نسبیتی بخشی از انرژی تلف شده به دلیل نیروی مقاوم است. پس از آن از مقایسه‌ی حالت  $\theta = 0$  با  $\theta \neq 0$  دانستیم که در  $\gamma$  های کوچک و یکسان، اتلاف انرژی تابشی برای کوچک‌ترین  $\theta$ ، در مقایسه با بزرگ‌ترین  $\theta$ ، بیشتر است. همچنین نشان دادیم که در خلاء غیرنسبیتی تا زمانی که سرعت حرکت کوارک چرخان کمتر از سرعت نور باشد با افزایش  $\theta$  انرژی

اتلافی کل افزایش می‌یابد. اما با عبور از سرعت نور اتلاف انرژی کل برای هر سرعت زاویه‌ای دلخواهی با افزایش  $\theta$  کاهش می‌یابد.

در بررسی اتلاف انرژی در پلاسمای غیرنسبیتی نیز مشاهده کردیم برای تغییرات سرعت تا محدوده‌ی سرعت نور، یعنی جایی که فضا زمان را می‌توان نسبیتی در نظر گرفت، مجموع نیروهای مقاوم سهم کمی در اتلاف انرژی دارند. اما با گذشتن سرعت ذره از حد سرعت نور، مجموع نیروهای مقاوم نقش مهمی در اتلاف انرژی دارند به طوری که برای سرعت‌های زاویه‌ای پایین و بالا نسبت اتلاف انرژی کل به اتلاف ناشی از نیروی مقاوم یک خواهد شد.

## مراجع:

- [1] K.Bitaghsir Fadafan, Hong Liu, Krishna Rajagopal and Urs Achim Wiedemann, "Stirring Strongly Coupled Plasma", Eur.Phys.J.C61:553-567,2009, arXiv:0809.2869 [hep-th] 17 Sep 2008.
- [2] وحیدی نیا م ح، (۸۹)، " اهمیت گرانش کوانتومی "، نشریه تخصصی دانشجویی بخش فیزیک دانشگاه شیراز، شماره ۳۱، سال نهم.
- [3] عابدینی م ، (۱۳۹۱)، پایان نامه ارشد، " مطالعه حرکت شتابدار کوارک سنگین در پلاسمای کوارک-گلوئون "، دانشکده فیزیک، دانشگاه صنعتی شاهروд.
- [4] Steven S. Gubser, "Drag force in AdS/CFT", Phys.Rev.D74:126005(2006), arXiv:hep-th/0605182v1.
- [5] C. P. Herzog, A. Karch, P. Kovtun, C. Kozcaz, L. G. Yaffe, " Energy loss of a heavy quark moving through N=4 supersymmetric Yang-Mills plasma ", JHEP 0607 (2006) 013, arXiv:hep-th/0605158v3.
- [6] نیازی ح ، (۱۳۹۰)، پایان نامه ارشد، " مطالعه اتلاف انرژی کوارک سنگین با استفاده از سیاهچاله های RN "، دانشکده فیزیک، دانشگاه صنعتی شاهرود.
- [7] Zwiebach, Barton (2009), "A First Course in String Theory", Cambridge University Press, ISBN 978-0-521-88032-9.
- [8] J.Casalderrey-Solana, H.Liu, D.Mateos, K.Rajagopal and U.A.Wiedemann, " Gauge/String Duality, Hot QCD and Heavy Ion Collision " , arXiv:1101.0618 [hep-th].
- [9] R.Peschanski," Introduction to String Theory and Gauge/Gravity duality for students in QCD and QGP phenomenology", Acta Phys. Polon. B 39, 2479 (2008) , arXiv:0804.3210[hep-ph].
- [10] A. Mikhailov, arXiv:hep-th/0305196.
- [11] A. Li'enard, L'Eclairage Electrique 16 (1898) 5.
- [12] M.Alishahiha and H. Yavartanoo," On Holography with Hyperscaling Violation", JHEP 1211 (2012) 034, arXiv:1208.6197v2[hep-th] 9 Sep 2012.

- [13] Kazem Bitaghsir Fadafan, Hesam Soltanpanahi, "Energy loss in a strongly coupled anisotropic plasma", arXiv:1206.2271v4 [hep-th] 17 Sep 2012.
- [14] K. Bitaghsir Fadafan, "Drag force in asymptotically Lifshitz spacetimes", arXiv: 0912.4873v3 [hep-th] 13 Sep 2010.
- [15] S. S. Gubser, "Momentum fluctuations of heavy quarks in the gauge-string duality", Nucl. Phys. B 790, 175 (2008) , arXiv: 0612143 [hep-th].
- [16] A. Akhavan, M. Alishahiha, A. Davody and A. Vahedi, "Non relativistic CFT and Semi-classical Strings", JHEP 0903 (2009) 053 , arXiv:0811.3067 [hep-th].
- [17] Elias Kiritsis, "Lorentz violation, Gravity, Dissipation and Holography", JHEP 1301 (2013) 030, arXiv:1207.2325v2[hep-th] 15 Aug 2012.
- [18] Mohammad Ali-Akbari, " Rotating strings and energy loss in non-conformal holography " , arXiv:1110.5881v2 [hep-th] 15 Nov 2011.
- [19] J. Kluson, "Open String in Non-Relativistic Background " , Phys. Rev. D 81, 106006 (2010) , [arXiv:0912.4587 [hep-th]].
- [20] J. Casalderrey-Solana and D. Teaney, "Transverse Momentum Broadening of a Fast Quark in a N=4 Yang Mills Plasma " , JHEP 0704, 039 (2007) , arXiv: 0701123 [hep-th].
- [21] V. Keränen and L. Thorlacius, " Holographic geometries for condensed matter applications", C12-07-01.1Proceedings arXiv:1307.2882v1.
- [22] T. Azeyanagi, W. Li and T. Takayanagi, "On String Theory Duals of Lifshitz-like Fixed Points," JHEP 0906 (2009) 084 [arXiv:0905.0688 [hep-th]].
- [23] S. S. Gubser, S. S. Pufu, F. D. Rocha and A. Yarom, "Energy loss in a strongly coupled thermal medium and the gauge-string duality" ,arXiv:0902.4041 [hep-th].
- [24] عظیم‌فرد ا، (۱۳۹۰)، پایان نامه ارشد، " مطالعه پتانسیل کوارک-پادکوارک با استفاده از همسانی AdS/CFT" ، دانشکده فیزیک، دانشگاه صنعتی شاهروود.
- [25] زاهدی ه، (۱۳۹۲)، پایان نامه ارشد، " مطالعه تابش کوارک سنگین با استفاده از AdS/CFT" ، دانشکده فیزیک، دانشگاه صنعتی شاهروود.

## **abstract**

In this thesis we consider a rotating quark along a circle of radius  $l$  with constant velocity through the strongly coupled plasma and vacuum that we use AdS/CFT correspondence for calculations. From the AdS/CFT, the dual picture of a rotating quark is a rotating string in the bulk. We begin with an overview of the resources in motion of rotating quark question. Then by solving equations of motion for rotating quark we discuss about energy loss.

Calculations show that there are two mechanisms of energy loss for a rotating quark in strongly coupled plasma; radiation and drag force. Also we found out in the relativistic space-time, for small  $\omega$ , the energy loss is due to drag force but for enough large  $\omega$  the energy loss is due to radiation. But in relativistic vacuum, because of radiation the energy is lost. Then as a new problem we study the effect of non-relativistic space-time in energy loss. In isotropic plasma, for a large  $\omega$ , the energy loss is due to radiation. Also we found out by turn on non-relativistic parameter, if we increase the radius of rotating quark, because of drag force most part of the energy is lost. So we can approximate the behavior of rotating quark in a boundary with a quark that is moving in a straight line.





**University of Shahrood**  
**Faculty of physics**

## **Master of Science Thesis**

# **Considering non-Relativistic effect to the quark radiation by using AdS/CFT**

**Mitra Farahbodnia**

Supervisor:

**Dr. K. Bitaghsir Fadafan**

Advisor:

**Dr.M.Ali Akbari**

February – 2015